



New frontiers for the 3PCF

Michele Moresco

Dipartimento di Fisica e Astronomia “Augusto Righi” – Università di Bologna

in collaboration with

M. Guidi, N. Principi, K. Nagainis, A. Labate (UniBo), A. Veropalumbo, A. Farina (INAF OABr, INFN-Genova), B. Granett, I. Risso (INAF OABr)



Finanziato
dall'Unione europea
NextGenerationEU



Ministero
dell'Università
e della Ricerca



Italiadomani
PIANO NAZIONALE
DI RIPRESA E RESILIENZA



ALMA MATER STUDIORUM
UNIVERSITÀ DI BOLOGNA

DIPARTIMENTO
DI FISICA E ASTRONOMIA
“AUGUSTO RIGHI”

First observational spectrum in Sexten



Finanziato
dall'Unione europea
NextGenerationEU



Ministero
dell'Università
e della Ricerca



Italiadomani
PIANO NAZIONALE
DI RIPRESA E RESILIENZA



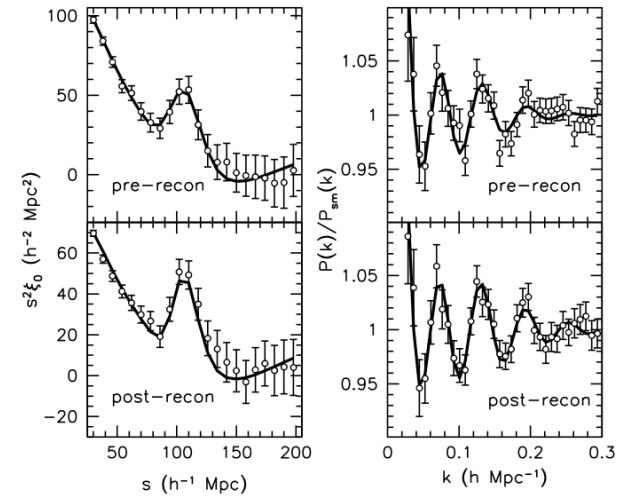
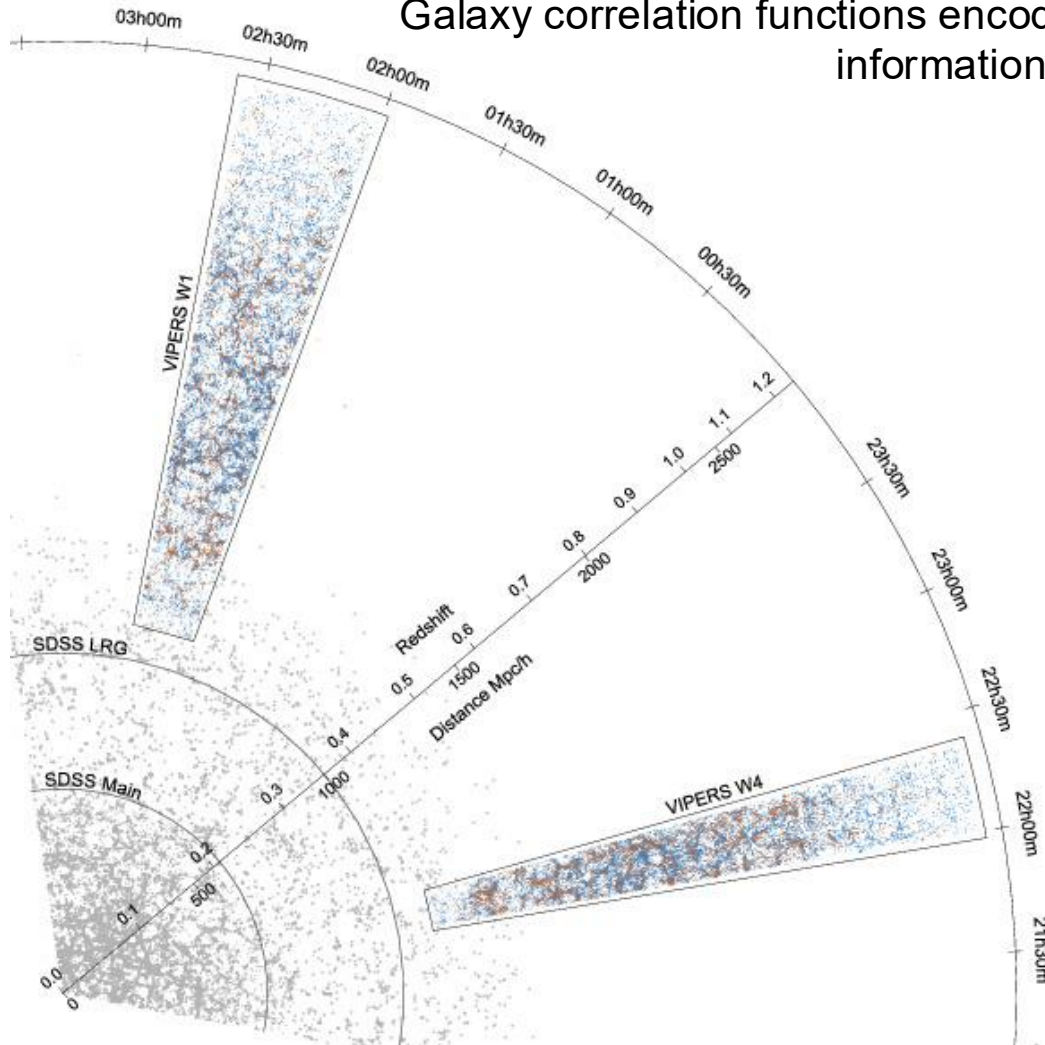
ALMA MATER STUDIORUM
UNIVERSITÀ DI BOLOGNA

DIPARTIMENTO
DI FISICA E ASTRONOMIA
"AUGUSTO RIGHI"

The importance of including higher-orders

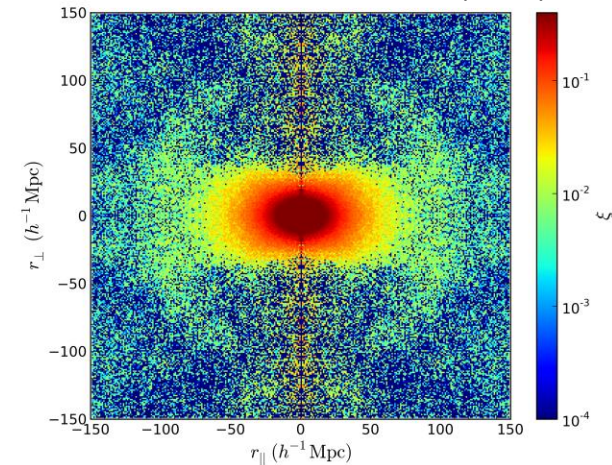
Galaxy correlation functions encode fundamental information for cosmology

- BAO
- RSD



Anderson et al. (2014)

Samushia et al. (2013)



Finanziato
dall'Unione europea
NextGenerationEU



Ministero
dell'Università
e della Ricerca



Italiadomani
PIANO NAZIONALE
DI RIPRESA E RESILIENZA

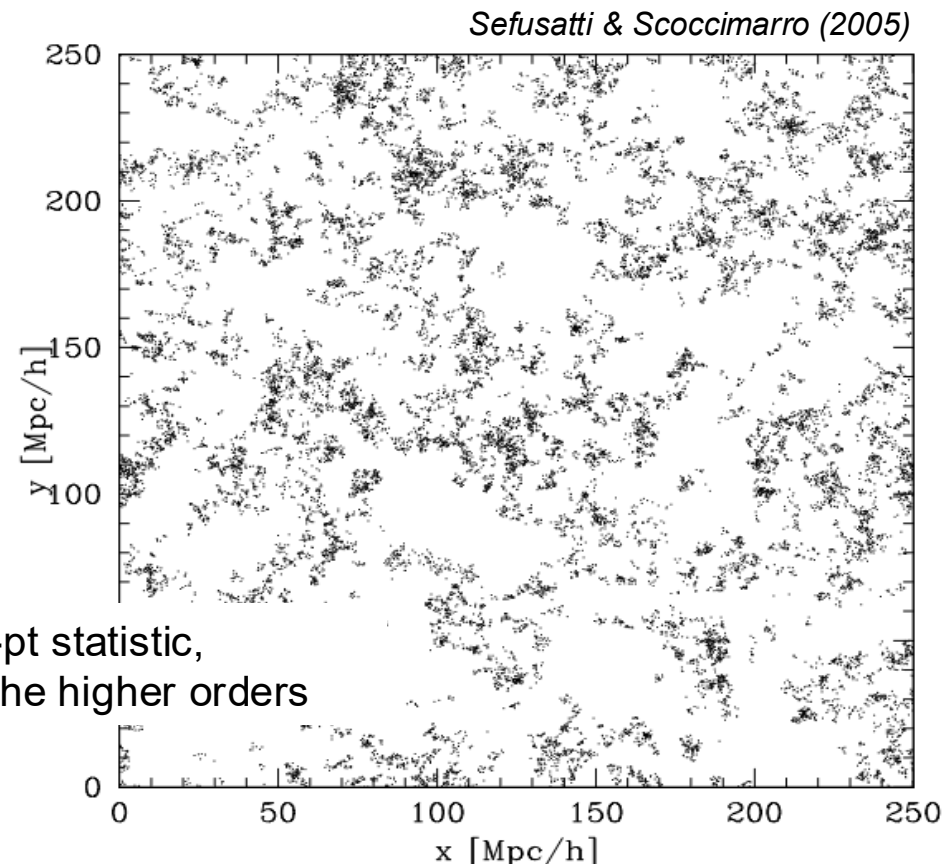
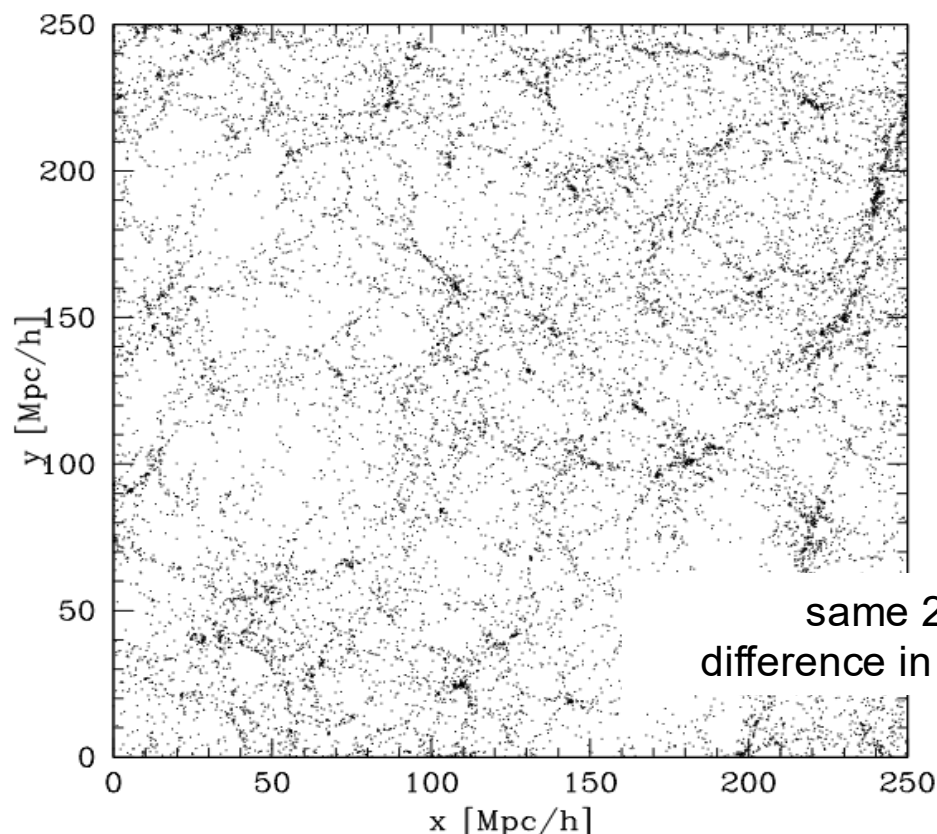


ALMA MATER STUDIORUM
UNIVERSITÀ DI BOLOGNA
DIPARTIMENTO
DI FISICA E ASTRONOMIA
"AUGUSTO RIGHI"

The importance of including higher-orders

For a Gaussian Random Field, 2PCF (and/or P_k) would be enough (mean and variance)

... but the Universe is just not like that!



same 2-pt statistic,
difference in the higher orders

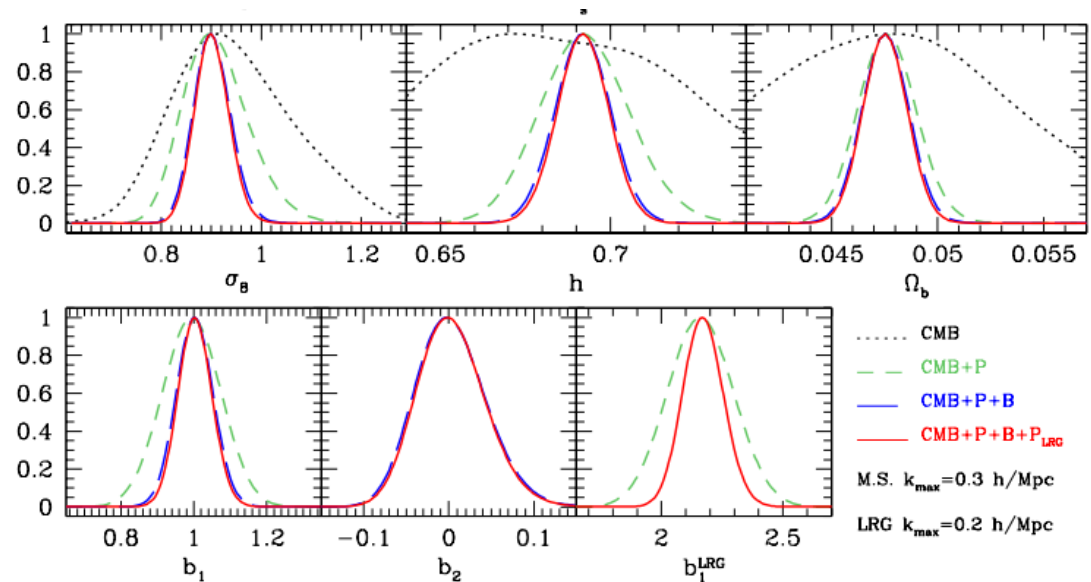
The gain and price to move to higher orders

PROs

- first significant order to detect non-Gaussian signals
- can probe both scale (as the 2PCF) and **shape (unlike the 2PCF)**
- in combination with the 2PCF **can break the degeneracy between bias and s_8**
- improve constraints on parameters in combination with other probes
- exploit additional information: **fundamental for future surveys** (Euclid, ...)

CONs

- scales as $O(N^3)$ (at least nominally)
- difficult to model (both theoretically and computationally)
- quite unexplored field (at least in configuration space)



Sefusatti et al. (2006)



Finanziato
dall'Unione europea
NextGenerationEU



Ministero
dell'Università
e della Ricerca



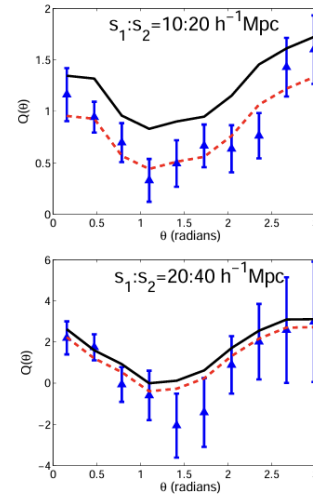
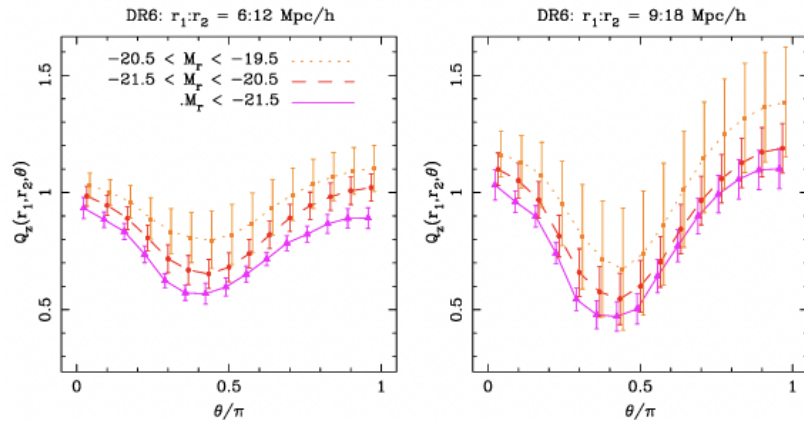
Italiadomani
PIANO NAZIONALE
DI RIPRESA E RESILIENZA



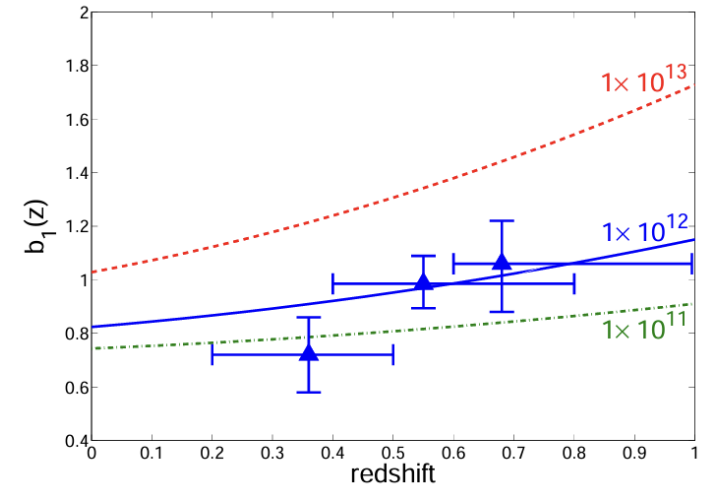
ALMA MATER STUDIORUM
UNIVERSITÀ DI BOLOGNA
DIPARTIMENTO
DI FISICA E ASTRONOMIA
"AUGUSTO RIGHI"

Quite novel field (in configuration space)

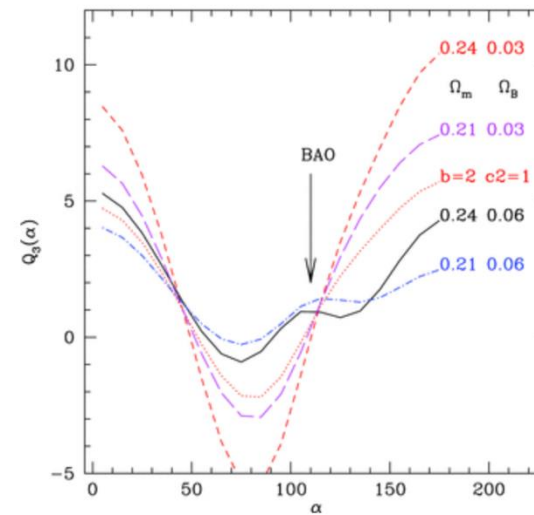
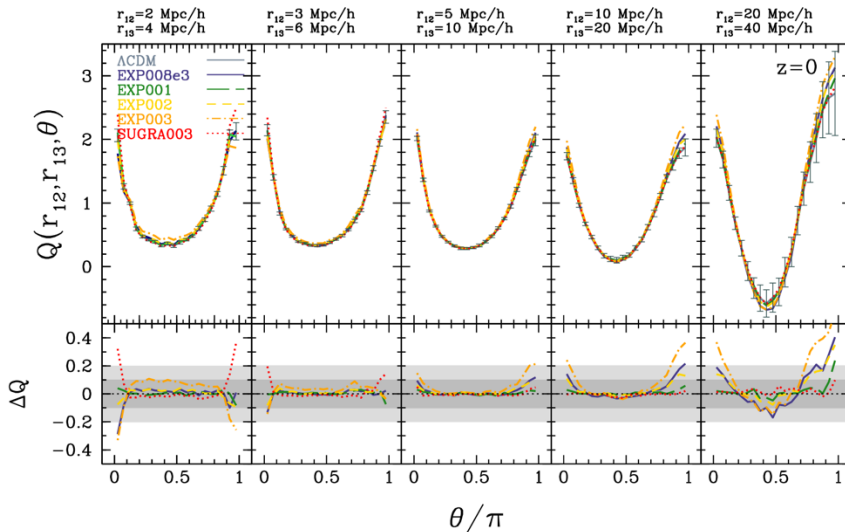
Mc Bride et al. (2011)



Marin et al. (2013)



Moresco et al. (2013)

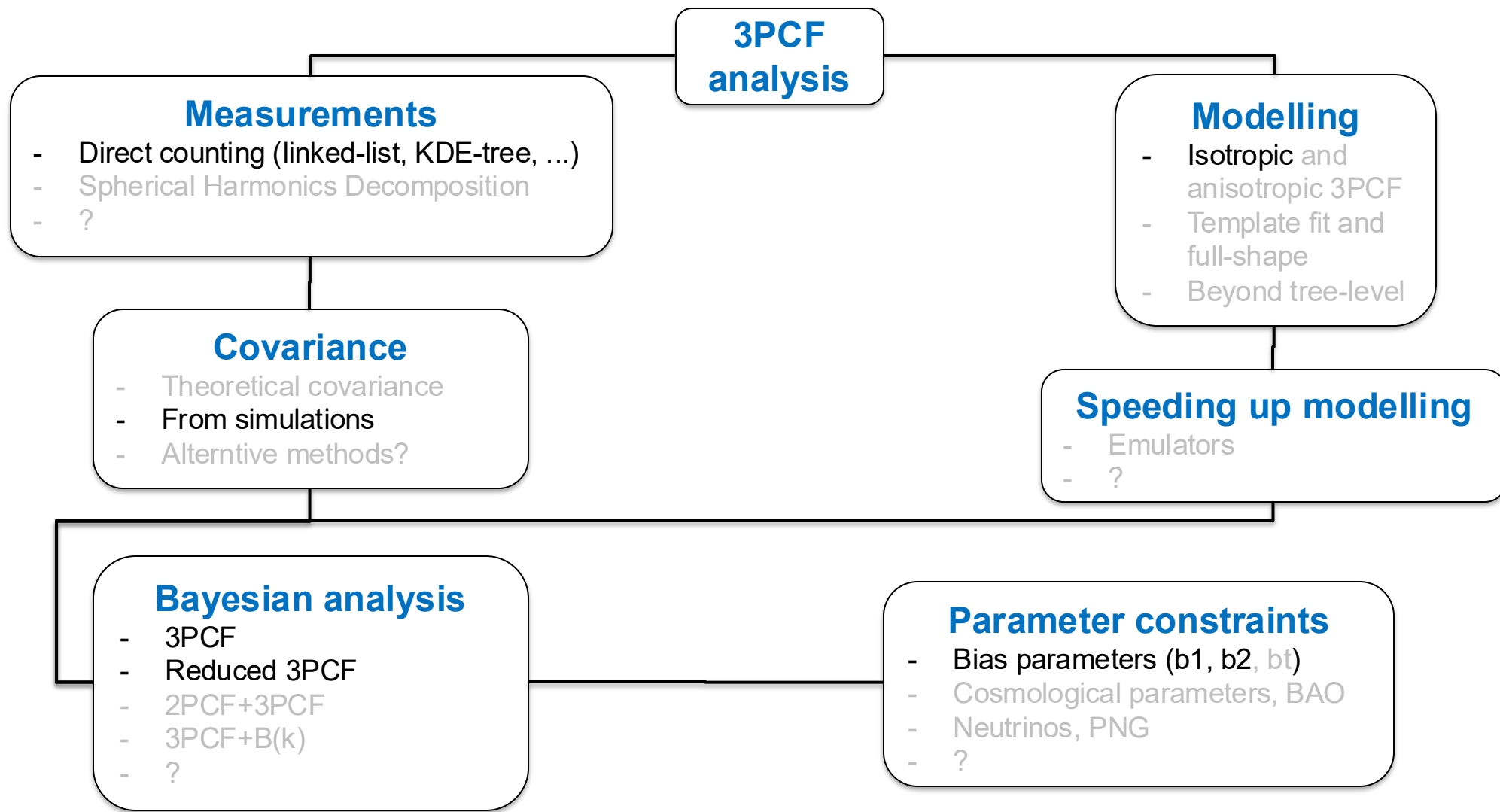


Gaztanaga et al. (2009)

Bottlenecks

- Computation time
- Modelling
- Covariance

State of the art (pre-2015)



State of the art (pre-2015)

3PCF analysis

A (possibly incomplete) list of improvements

New algorithms and covariance

- SHD, theoretical covariance (Slepian et al. 2015, 2017)
- Impact of covariance (Veropalumbo et al. 2022)

Modelling

- Anisotropic 3PCF (Slepian et al. 2017, Sugiyama et al. 2019, Farina et al. 2025)
- Sub-leading order with FFTLog (Guidi et al. 2023)
- Full-shape (Guidi et al. 2025)

BAO detection

- Galaxies (Slepian et al. 2017)
- Clusters (Moresco et al. 2021)

Analysis

- 2PCF+3PCF (Veropalumbo et al. 2021, Guidi et al. 2025)

... and many others...

Measuring

- Direct counting
- Spherical Harmonics
- ?

Computational

- Theoretical
- From simulation
- Alternatives

Bayesian

- 3PCF
- Reduced
- 2PCF+
- 3PCF+
- ?

Modelling

isotropic and anisotropic 3PCF
plate fit and
shape
and tree-level

Up modelling

Constraints

(Ω_m , b , σ_8)
clusters, BAO



Finanziato
dall'Unione europea
NextGenerationEU



Ministero
dell'Università
e della Ricerca

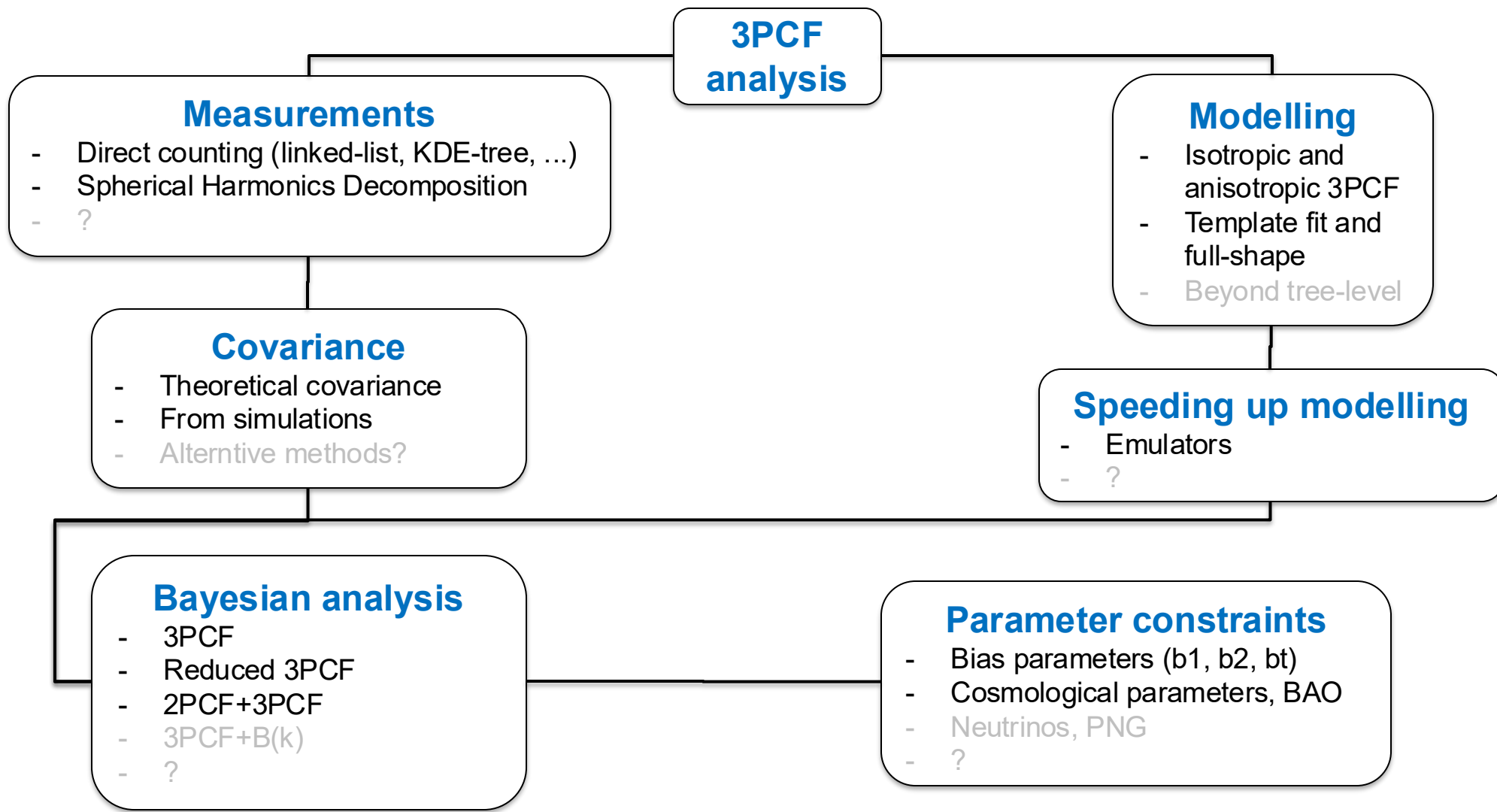


Italiadomani
PIANO NAZIONALE
DI RIPRESA E RESILIENZA



ALMA MATER STUDIORUM
UNIVERSITÀ DI BOLOGNA
DIPARTIMENTO
DI FISICA E ASTRONOMIA
"AUGUSTO RIGHI"

State of the art (now)



How to move forward?

- ☐ Computational improvements vs approximations: direct counting, spherical harmonics decomposition, what else?
- ☐ Improvements in codes? GPU?
- ☐ Modelling at the level of multiples vs resummed 3PCF vs reduced 3PCF?
- ☐ Push models to small scales?
- ☐ Models beyond tree-level: is it feasible? How much gain?
- ☐ Improving covariance?
- ☐ Configuration + Fourier space?
- ☐ **Modelling 3PCF in the analysis of real data (Euclid, DESI, ...)**
- ☐ **3PCF to provide constraints beyond standard (neutrinos, PNG, ...)**
- ☐ Others?



Finanziato
dall'Unione europea
NextGenerationEU



Ministero
dell'Università
e della Ricerca



Italiadomani
PIANO NAZIONALE
DI RIPRESA E RESILIENZA



ALMA MATER STUDIORUM
UNIVERSITÀ DI BOLOGNA

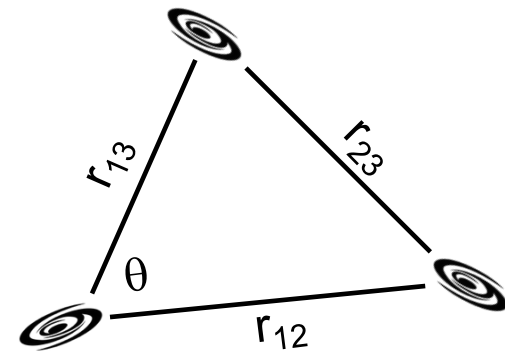
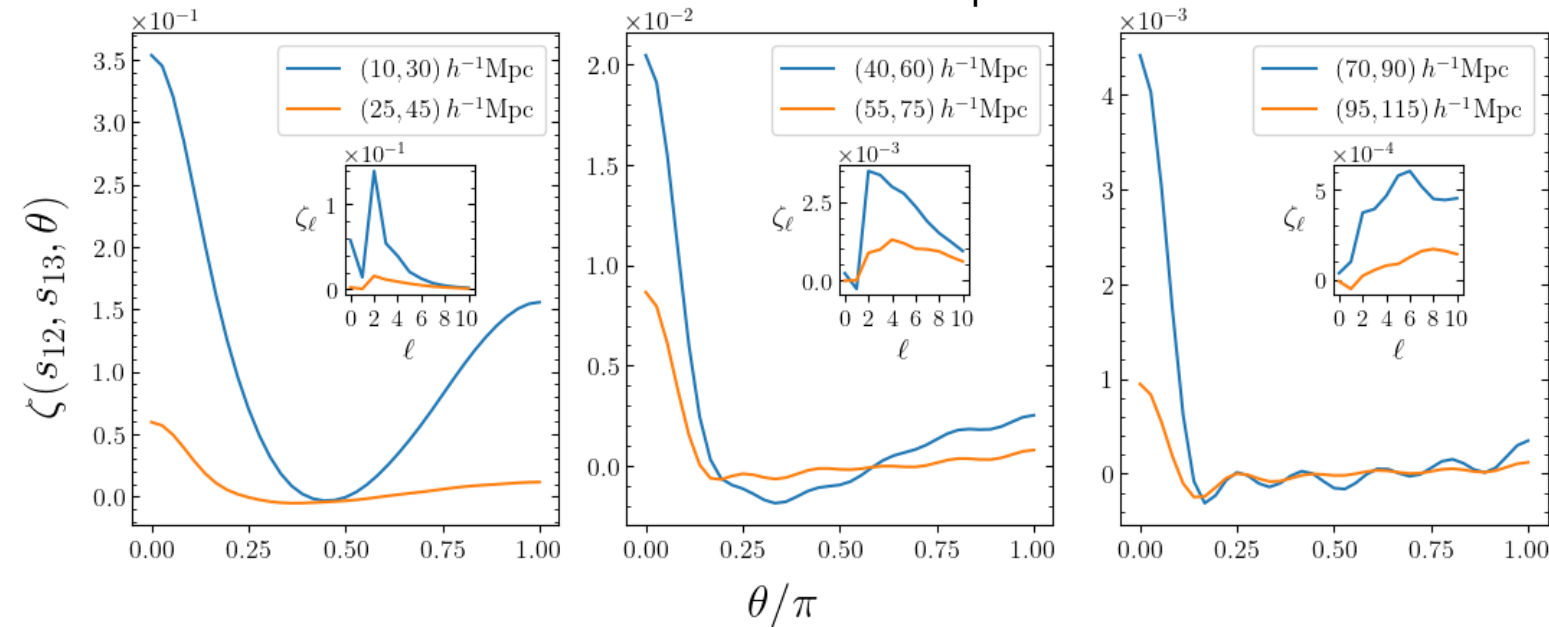
DIPARTIMENTO
DI FISICA E ASTRONOMIA
"AUGUSTO RIGHI"


The three-point correlation function

3PCF: $\hat{\zeta}(r_{12}, r_{13}, \theta)$

reduced 3PCF: $Q(r_{12}, r_{13}, r_{23}) \equiv \frac{\zeta(r_{12}, r_{13}, r_{23})}{\xi_0(r_{12})\xi_0(r_{13}) + \xi_0(r_{13})\xi_0(r_{23}) + \xi_0(r_{23})\xi_0(r_{12})}$

quasi-isosceles





The impact of redshift interlopers on the 3PCF

and how to deal with it



Finanziato
dall'Unione europea
NextGenerationEU



Ministero
dell'Università
e della Ricerca



Italiadomani
PIANO NAZIONALE
DI RIPRESA E RESILIENZA

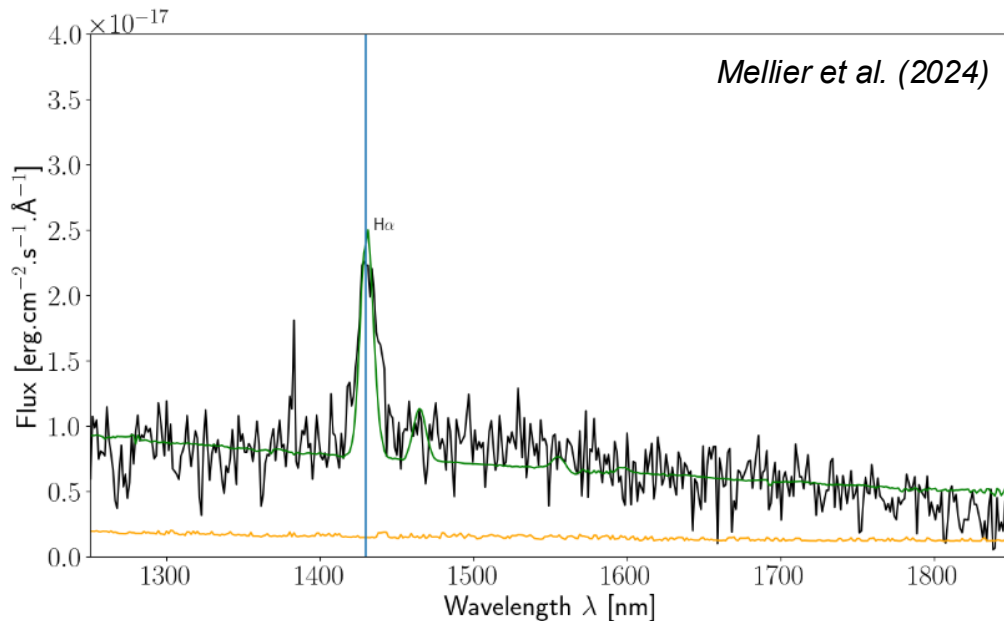


ALMA MATER STUDIORUM
UNIVERSITÀ DI BOLOGNA

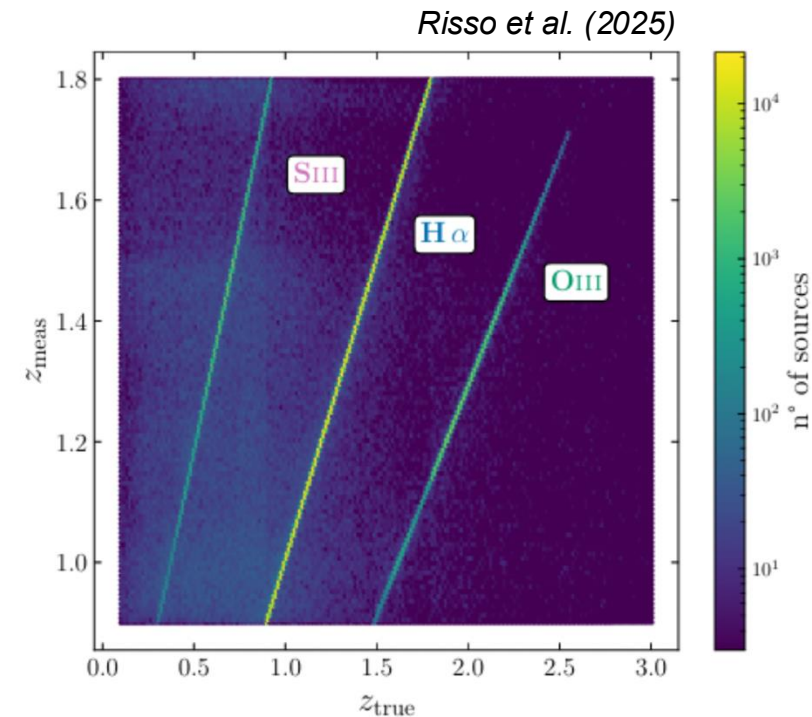
DIPARTIMENTO
DI FISICA E ASTRONOMIA
"AUGUSTO RIGHI"

The issue of redshift interlopers

The spectroscopic part of the Euclid ESA mission will base the determination of redshifts on $H\alpha$ emitters. In many cases, spectra will show only one line. While the spectroscopic pipeline is developed to minimize as much as possible the contamination, **line interlopers** and **noise interlopers** may be present in the sample.



Different redshift intervals, different contaminations



Finanziato
dall'Unione europea
NextGenerationEU



Ministero
dell'Università
e della Ricerca



Italiadomani
PIANO NAZIONALE
DI RIPRESA E RESILIENZA



ALMA MATER STUDIORUM
UNIVERSITÀ DI BOLOGNA

DIPARTIMENTO
DI FISICA E ASTRONOMIA
"AUGUSTO RIGHI"

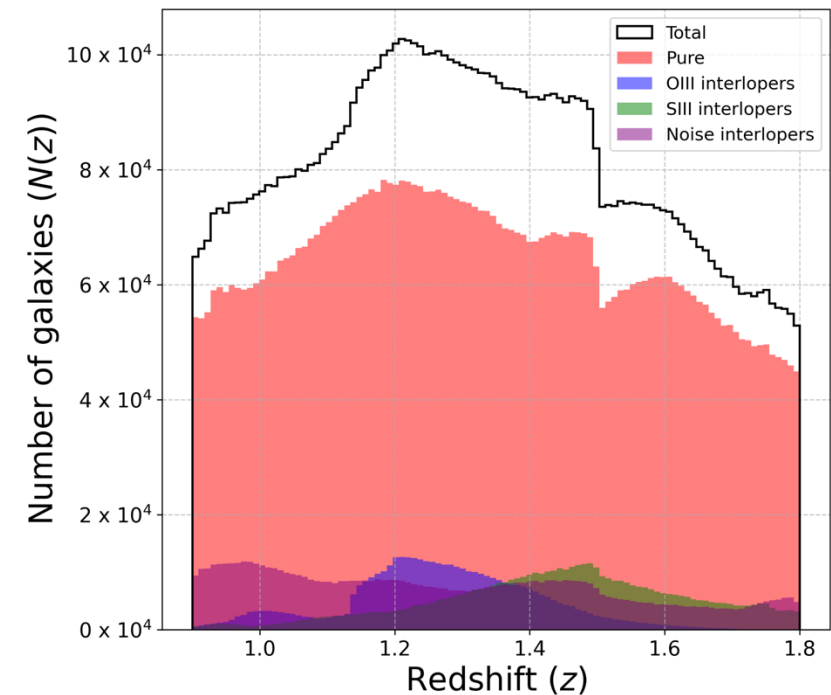
Euclid Large Mocks

To assess their impact, mocks have been created reproducing the expected behaviour of contaminants in Euclid samples (see Risso et al. 2025)

- 1000 Euclid mock samples
- Area: 2763 square degrees (similar to Euclid Data Release 1)
- Flux limit = 10^{-16} erg/s/cm² (1/2 of Euclid nominal limit)
- Redshift from the probabilistic model in Granett et al. (2025, in prep), calibrated on:
 - spectra simulated with fastSpec (Granett et al. 2025 in prep)
 - redshift derived with the official Euclid pipeline (Le Brun et al. 2025)

Risso et al. (2025)

	$z \in [0.9, 1.1]$	$z \in [1.1, 1.3]$	$z \in [1.3, 1.5]$	$z \in [1.5, 1.8]$
O III	0.03	0.12	0.09	0.01
S III	0.01	0.03	0.08	0.07
noise	0.12	0.08	0.08	0.06



Analysis performed as cross-check also on Euclid Flagship 2 mocks

New cross 3PCF estimators



Work by Nicola Principi, with M. Moresco, F. Marulli, A. Veropalumbo

$$\hat{\zeta}_{tot} = \sum_i \left(f_i^3 \frac{R_i R_i R_i}{R_{tot} R_{tot} R_{tot}} \hat{\zeta}_i \right) - 3 \left[\sum_{i \neq j, i < j} \left(f_i^2 f_j \frac{R_i R_i R_j}{R_{tot} R_{tot} R_{tot}} \hat{\zeta}_{iij} + f_i f_j^2 \frac{R_i R_j R_j}{R_{tot} R_{tot} R_{tot}} \hat{\zeta}_{ijj} \right) \right] + 6 \sum_{i \neq j \neq k, i < j < k} f_i f_j f_k \frac{R_i R_j R_k}{R_{tot} R_{tot} R_{tot}} \hat{\zeta}_{ijk}$$

fraction of i-th sample

autocorrelation 3PCF

bicross 3PCF

tricross 3PCF

$$\hat{\zeta}_i = \frac{D_i D_i D_i - 3 D_i D_i R_i + 3 D_i R_i R_i - R_i R_i R_i}{R_i R_i R_i},$$

$$\hat{\zeta}_{iij} = \frac{D_i D_i D_j - D_i D_i R_j - 2 D_i R_i D_j + 2 D_i R_i R_j + R_i R_i D_j - R_i R_i R_j}{R_i R_i R_j},$$

$$\hat{\zeta}_{ijj} = \frac{D_i D_j D_j + D_i R_j R_j - 2 D_i D_j R_j + 2 R_i D_j R_j - R_i D_j D_j - R_i R_j R_j}{R_i R_j R_j},$$

$$\hat{\zeta}_{ijk} = \frac{D_i D_j D_k - D_i R_j D_k - D_i D_j R_k - R_i D_j D_k + R_i R_j D_k + R_i D_j R_k + D_i R_j R_k - R_i R_j R_k}{R_i R_j R_k}$$

4 new classes and 19 new functions implemented in the CosmoBolognaLib suite



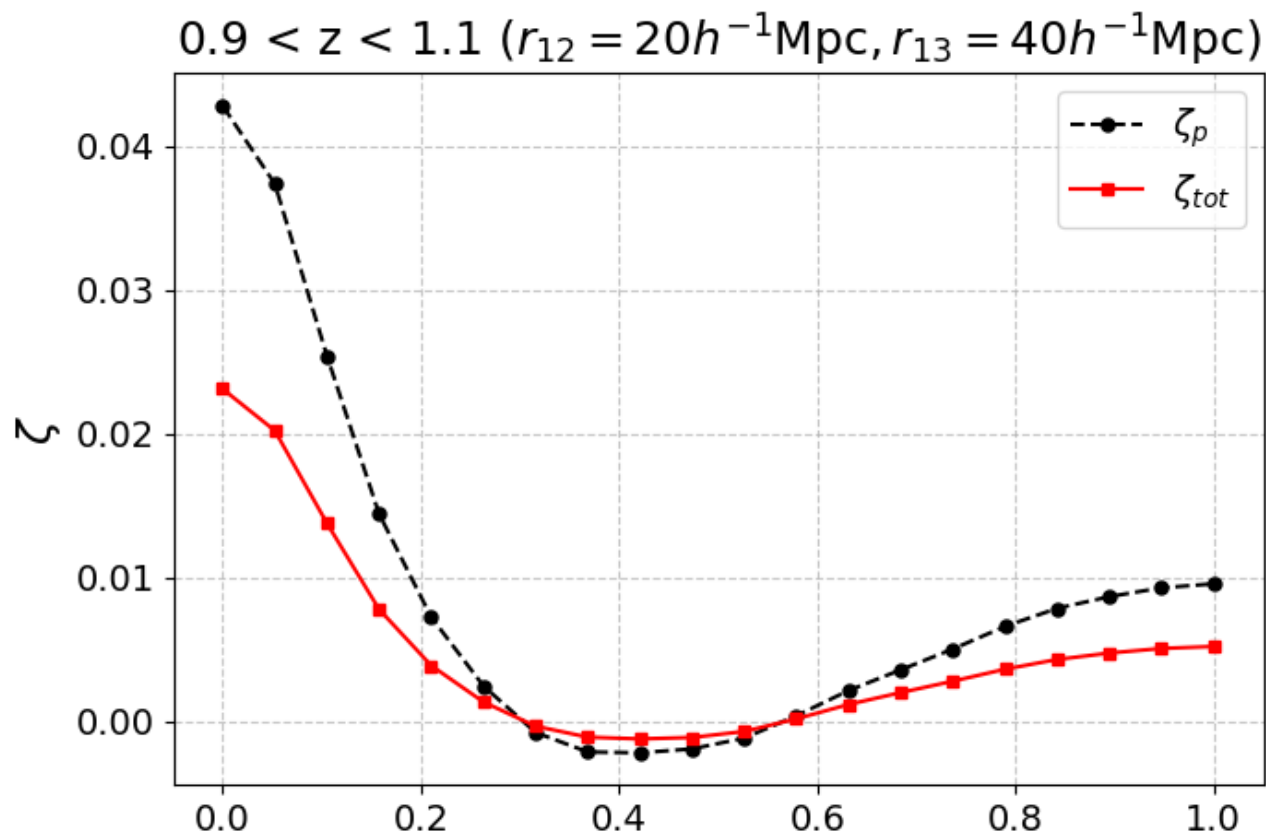
Autocorrelations and cross-correlations



Work by Nicola Principi, with M. Moresco, F. Marulli, A. Veropalumbo

Analysis on Flagship 2 catalog

Global effect: **damping of the signal**



Finanziato
dall'Unione europea
NextGenerationEU



Ministero
dell'Università
e della Ricerca



Italiadomani
PIANO NAZIONALE
DI RIPRESA E RESILIENZA



ALMA MATER STUDIORUM
UNIVERSITÀ DI BOLOGNA

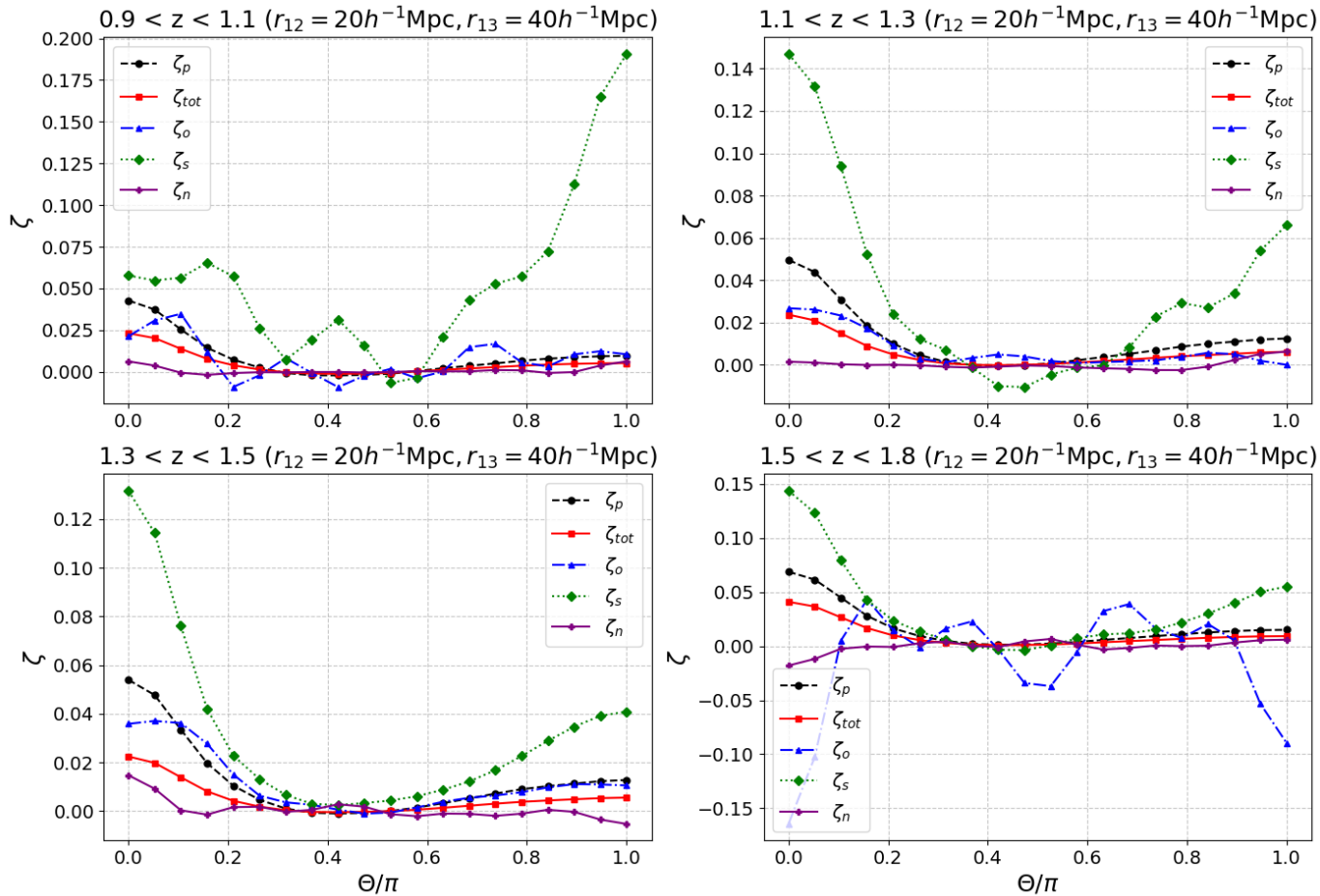
DIPARTIMENTO
DI FISICA E ASTRONOMIA
"AUGUSTO RIGHI"

Autocorrelations and cross-correlations



Work by Nicola Principi, with M. Moresco, F. Marulli, A. Veropalumbo

Analysis on Flagship 2 catalog



Finanziato
dall'Unione europea
NextGenerationEU



Ministero
dell'Università
e della Ricerca



Italiadomani
PIANO NAZIONALE
DI RIPRESA E RESILIENZA



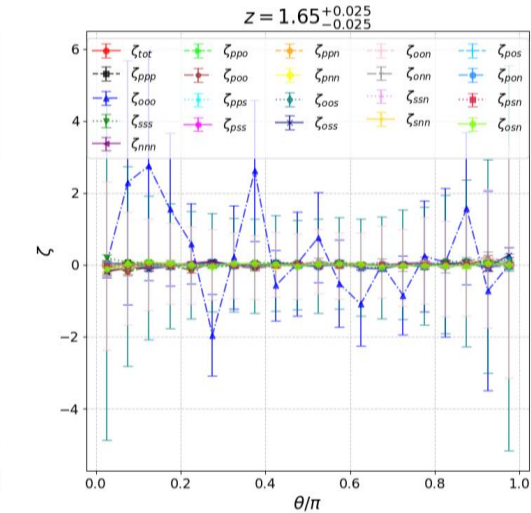
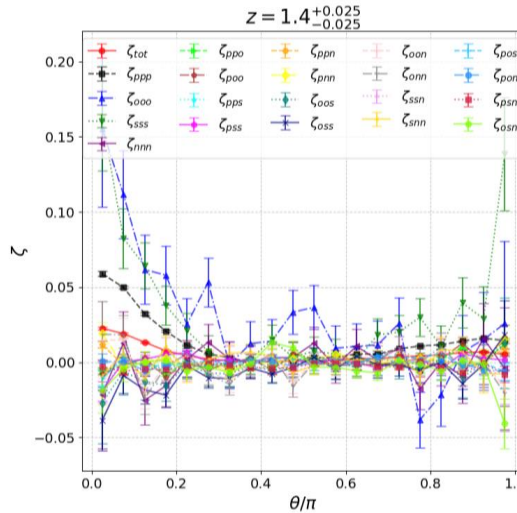
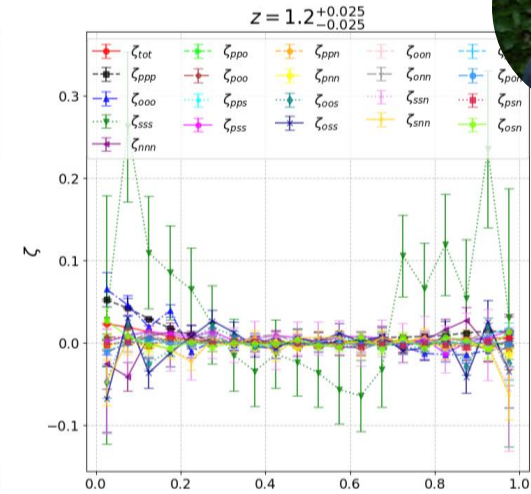
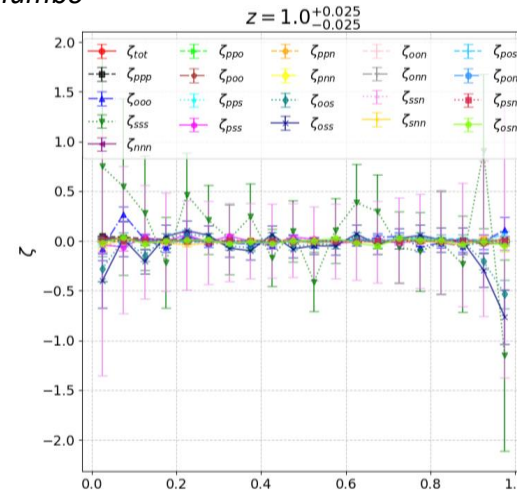
ALMA MATER STUDIORUM
UNIVERSITÀ DI BOLOGNA
DIPARTIMENTO
DI FISICA E ASTRONOMIA
"AUGUSTO RIGHI"

Autocorrelations and cross-correlations



Work by Nicola Principi, with M. Moresco, F. Marulli, A. Veropalumbo

Analysis on Flagship 2 catalog



Finanziato
dall'Unione europea
NextGenerationEU



Ministero
dell'Università
e della Ricerca



Italiadomani
PIANO NAZIONALE
DI RIPRESA E RESILIENZA



ALMA MATER STUDIORUM
UNIVERSITÀ DI BOLOGNA
DIPARTIMENTO
DI FISICA E ASTRONOMIA
"AUGUSTO RIGHI"

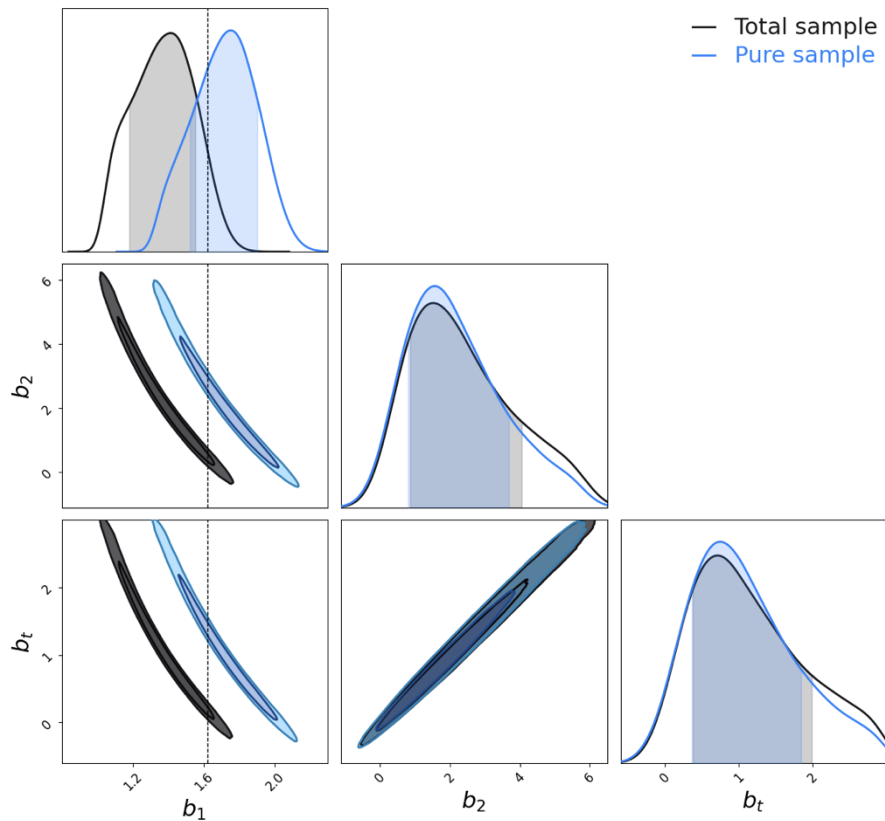
Impact of interlopers on the 3PCF



Work by Nicola Principi, with M. Moresco, F. Marulli, A. Veropalumbo

Analysis on Euclid Large Mocks

$0.9 < z < 1.1$



Direct analysis:

Offset in b_1 , but not in b_2 and b_t

Could be due to a simple offset
between contaminated and pure 3PCF



Finanziato
dall'Unione europea
NextGenerationEU



Ministero
dell'Università
e della Ricerca



Italiadomani
PIANO NAZIONALE
DI RIPRESA E RESILIENZA



ALMA MATER STUDIORUM
UNIVERSITÀ DI BOLOGNA
DIPARTIMENTO
DI FISICA E ASTRONOMIA
"AUGUSTO RIGHI"

Can we retrieve the expected signal?

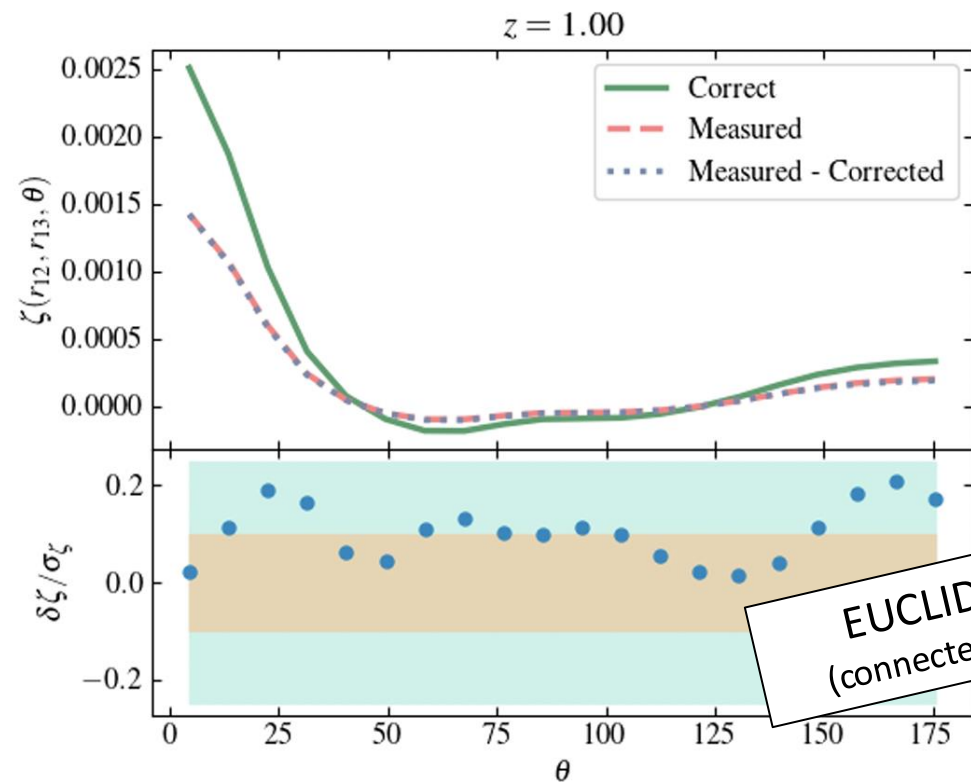


Work by A. Veropalumbo, Nicola Principi, M. Moresco, F. Marulli

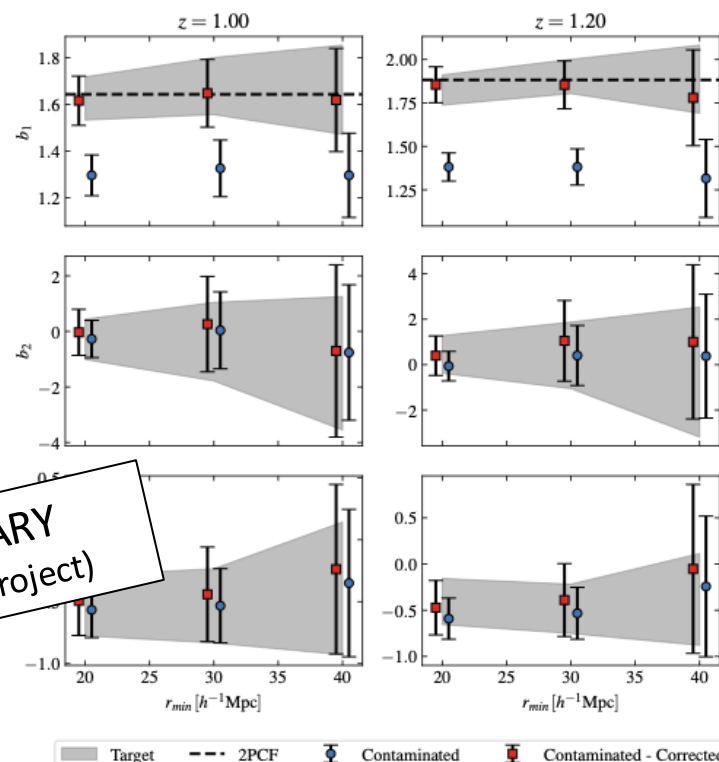
Analysis on Euclid Large Mocks

$$\zeta_m = (1 - f_i) \frac{R_C R_C R_C}{R_m R_m R_m} \zeta_C + \text{cross.corr.}$$

Accounting for the leading term provide a very good approximation, with baseline contamination ($f_i \sim 20\%$)



EUCLID PRELIMINARY
(connected to HOS Key Project)



Finanziato
dall'Unione europea
NextGenerationEU



Ministero
dell'Università
e della Ricerca



Italiadomani
PIANO NAZIONALE
DI RIPRESA E RESILIENZA



ALMA MATER STUDIORUM
UNIVERSITÀ DI BOLOGNA

DIPARTIMENTO
DI FISICA E ASTRONOMIA
"AUGUSTO RIGHI"



3PCF as a tool to constrain neutrino masses



Finanziato
dall'Unione europea
NextGenerationEU



Ministero
dell'Università
e della Ricerca



Italiadomani
PIANO NAZIONALE
DI RIPRESA E RESILIENZA

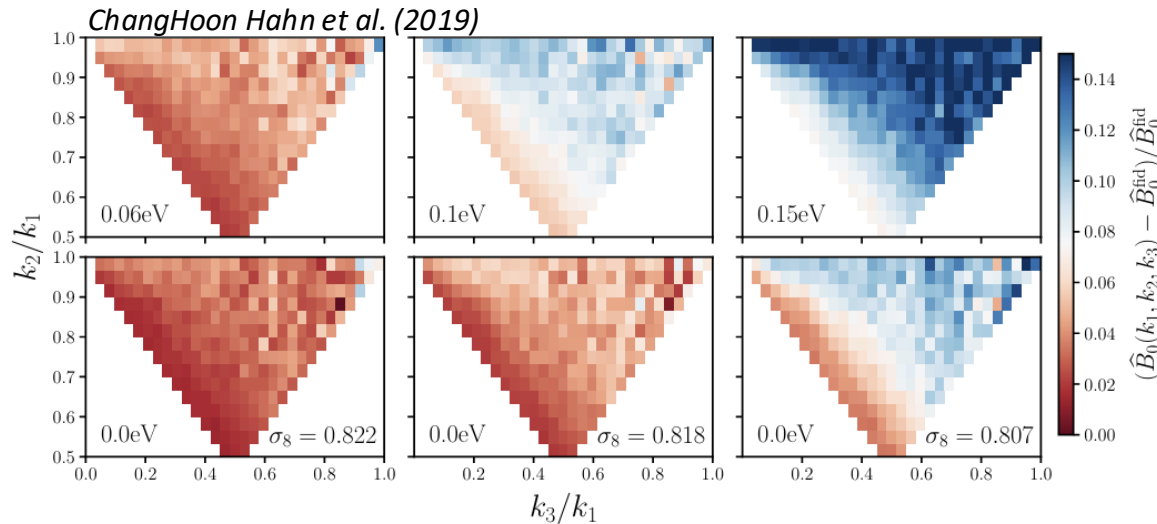
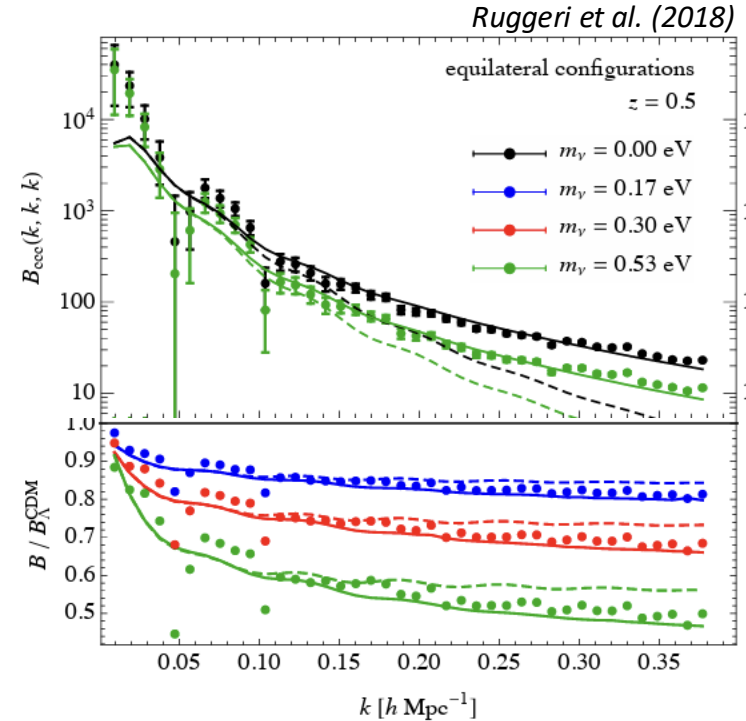
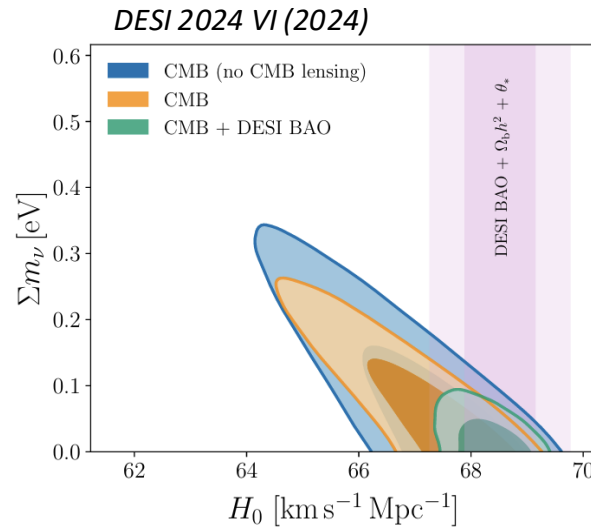


ALMA MATER STUDIORUM
UNIVERSITÀ DI BOLOGNA

DIPARTIMENTO
DI FISICA E ASTRONOMIA
"AUGUSTO RIGHI"

The effects of neutrinos on clustering

Not a novel topic,
exploited extensively at
2-point level and in
combination with other
probes



More recently, expanded also at
higher-order
(but only for the bispectrum)

Never attempted for the 3PCF



Finanziato
dall'Unione europea
NextGenerationEU



Ministero
dell'Università
e della Ricerca



Italiadomani
PIANO NAZIONALE
DI RIPRESA E RESILIENZA



ALMA MATER STUDIORUM
UNIVERSITÀ DI BOLOGNA
DIPARTIMENTO
DI FISICA E ASTRONOMIA
"AUGUSTO RIGHI"

The Quijote simulations

Work by A. Labate, M. Moresco, M. Guidi

Data sample: Quijote simulations

Villaescusa-Navarro et al., 2020

- 2000 fiducial simulations (for the covariance)
- 500 fiducial simulations (for control sample)
- 500 x 2 neutrino simulations
- 500 x 2 s8 simulations

Name	M_ν (eV)	σ_8	Realizations	Simulations	ICs	$N_c^{1/3}$	$N_\nu^{1/3}$
fiducial	0	0.834	2000	standard	2LPT	512	0
fiducial	0	0.834	500	paired fixed	2LPT	512	0
fiducial_ZA	0	0.834	500	standard	ZA	512	0
Mnu_ppp	0.4	0.834	500	standard	ZA	512	512
Mnu_pp	0.2	0.834	500	standard	ZA	512	512
Mnu_p	0.1	0.834	500	standard	ZA	512	512
s8_p	0	0.849	500	paired fixed	2LPT	512	0
s8_m	0	0.819	500	paired fixed	2LPT	512	0

Measurements (with MeasCorr):

- 2PCF from $1 < r \text{ [Mpc/h]} < 150$
- 3PCF from $2.5 < r \text{ [Mpc/h]} < 147.5$ up to $l=10$
 - Zeta multipoles
 - Zeta resummed (both single and all scales)
 - Reduced 3PCF (both single and all scales)

$$\hat{\zeta}(r_{12}, r_{13}, \theta) = \sum_{\ell=0}^{\ell_{\max}} \bar{\hat{\zeta}}_{\ell}(r_{12}, r_{13}) P_{\ell}(\cos \theta)$$

$$Q(r_{12}, r_{13}, r_{23}) \equiv \frac{\zeta(r_{12}, r_{13}, r_{23})}{\xi_0(r_{12})\xi_0(r_{13}) + \xi_0(r_{13})\xi_0(r_{23}) + \xi_0(r_{23})\xi_0(r_{12})}$$

independent of s8



Finanziato
dall'Unione europea
NextGenerationEU



Ministero
dell'Università
e della Ricerca



Italiadomani
PIANO NAZIONALE
DI RIPRESA E RESILIENZA



ALMA MATER STUDIORUM
UNIVERSITÀ DI BOLOGNA

DIPARTIMENTO
DI FISICA E ASTRONOMIA
"AUGUSTO RIGHI"

The Quijote simulations

Work by A. Labate, M. Moresco, M. Guidi

Data sample: Quijote simulations
Villaescusa-Navarro et al., 2020

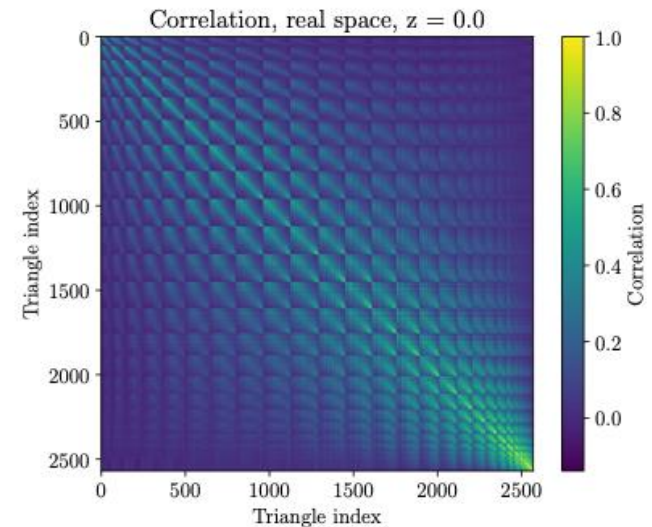
- 2000 fiducial simulations (for the covariance)
- 500 fiducial simulations (for control sample)
- 500 x 2 neutrino simulations
- 500 x 2 s8 simulations

Name	M_ν (eV)	σ_8	Realizations	Simulations	ICs	$N_c^{1/3}$	$N_\nu^{1/3}$
fiducial	0	0.834	2000	standard	2LPT	512	0
fiducial	0	0.834	500	paired fixed	2LPT	512	0
fiducial_ZA	0	0.834	500	standard	ZA	512	0
Mnu_ppp	0.4	0.834	500	standard	ZA	512	512
Mnu_pp	0.2	0.834	500	standard	ZA	512	512
Mnu_p	0.1	0.834	500	standard	ZA	512	512
s8_p	0	0.849	500	paired fixed	2LPT	512	0
s8_m	0	0.819	500	paired fixed	2LPT	512	0

Measurements (with MeasCorr):

- 2PCF from $1 < r \text{ [Mpc/h]} < 150$
- 3PCF from $2.5 < r \text{ [Mpc/h]} < 147.5$ up to $l=10$
 - Zeta multipoles
 - Zeta resummed (both single and all scales)
 - Reduced 3PCF (both single and all scales)

Covariance estimated for all these datasets
(rescaled for a volume of $10 \text{ h}^{-3} \text{ Gpc}^3$)



The Quijote simulations

Work by A. Labate, M. Moresco, M. Guidi

Data sample: Quijote simulations

Villaescusa-Navarro et al., 2020

- 2000 fiducial simulations (for the covariance)
- 500 fiducial simulations (for control sample)
- 500 x 2 neutrino simulations
- 500 x 2 s8 simulations

Name	M_ν (eV)	σ_8	Realizations	Simulations	ICs	$N_c^{1/3}$	$N_\nu^{1/3}$
fiducial	0	0.834	2000	standard	2LPT	512	0
fiducial	0	0.834	500	paired fixed	2LPT	512	0
fiducial_ZA	0	0.834	500	standard	ZA	512	0
Mnu_ppp	0.4	0.834	500	standard	ZA	512	512
Mnu_pp	0.2	0.834	500	standard	ZA	512	512
Mnu_p	0.1	0.834	500	standard	ZA	512	512
s8_p	0	0.849	500	paired fixed	2LPT	512	0
s8_m	0	0.819	500	paired fixed	2LPT	512	0

Measurements (with MeasCorr):

- 2PCF from $1 < r \text{ [Mpc/h]} < 150$
- 3PCF from $2.5 < r \text{ [Mpc/h]} < 147.5$ up to $l=10$
 - Zeta multipoles
 - Zeta resummed (both single and all scales)
 - Reduced 3PCF (both single and all scales)

Covariance estimated for all these datasets
(rescaled for a volume of $10 h^{-3} \text{ Gpc}^3$)

Different estimators for the neutrino detectability

$$\text{DET}_i \equiv \frac{\hat{f}_i^{(\nu)} - \hat{f}_i^{(\text{fiducial})}}{\sqrt{2} \sigma_{f,i}},$$

$$\chi^2(r_{12}, r_{13}) \equiv \sum_{i,j=1}^{N_\theta} \left(\hat{f}^{(\nu)} - \hat{f}^{(\text{fiducial})} \right) (r_{12}, r_{13}, \theta_i) \times \left[\hat{C}^{(\text{single-sc.})} \right]_{ij}^{-1} \times \left(\hat{f}^{(\nu)} - \hat{f}^{(\text{fiducial})} \right) (r_{12}, r_{13}, \theta_j),$$



Finanziato
dall'Unione europea
NextGenerationEU



Ministero
dell'Università
e della Ricerca



Italiadomani
PIANO NAZIONALE
DI RIPRESA E RESILIENZA



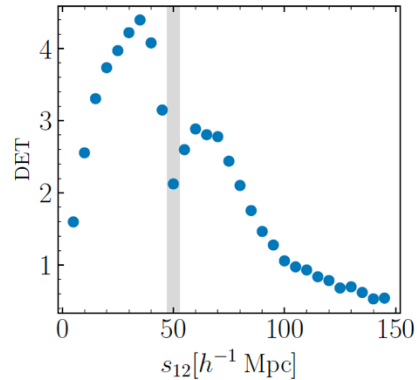
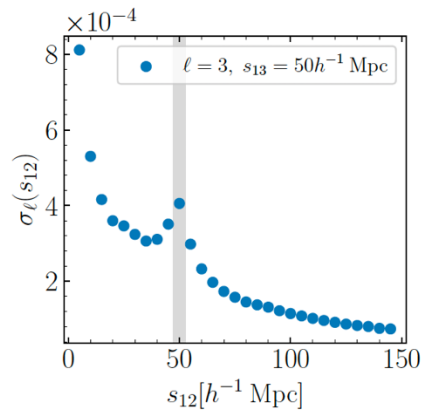
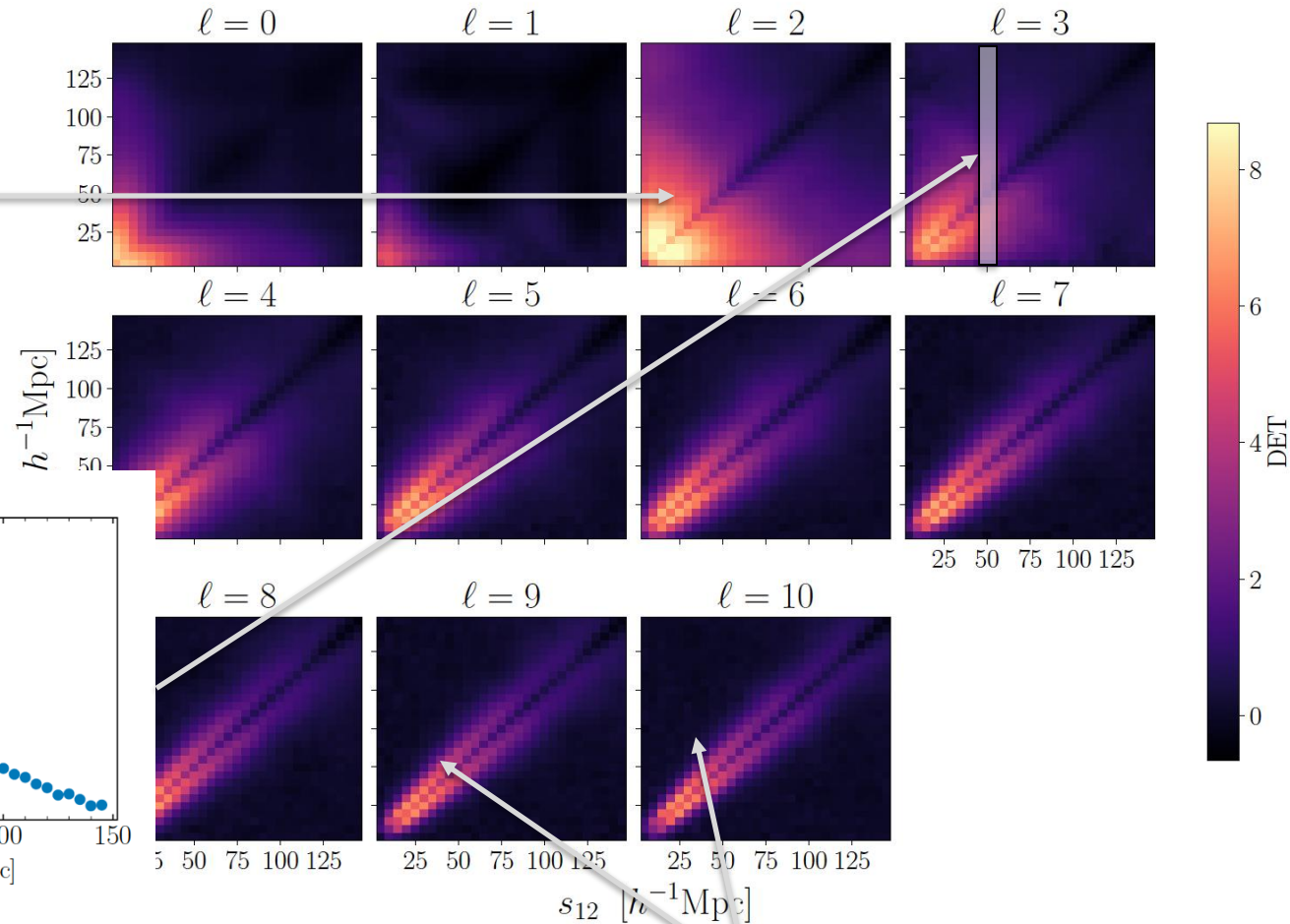
ALMA MATER STUDIORUM
UNIVERSITÀ DI BOLOGNA

DIPARTIMENTO
DI FISICA E ASTRONOMIA
"AUGUSTO RIGHI"

Effect of neutrinos on 3PCF multiples

Work by A. Labate, M. Moresco, M. Guidi

strong effect for $\ell=2$ multipoles



Low detectability in isosceles configurations
due to increased error

Many multipoles needed to reconstruct quasi-isosceles configurations



Finanziato
dall'Unione europea
NextGenerationEU



Ministero
dell'Università
e della Ricerca



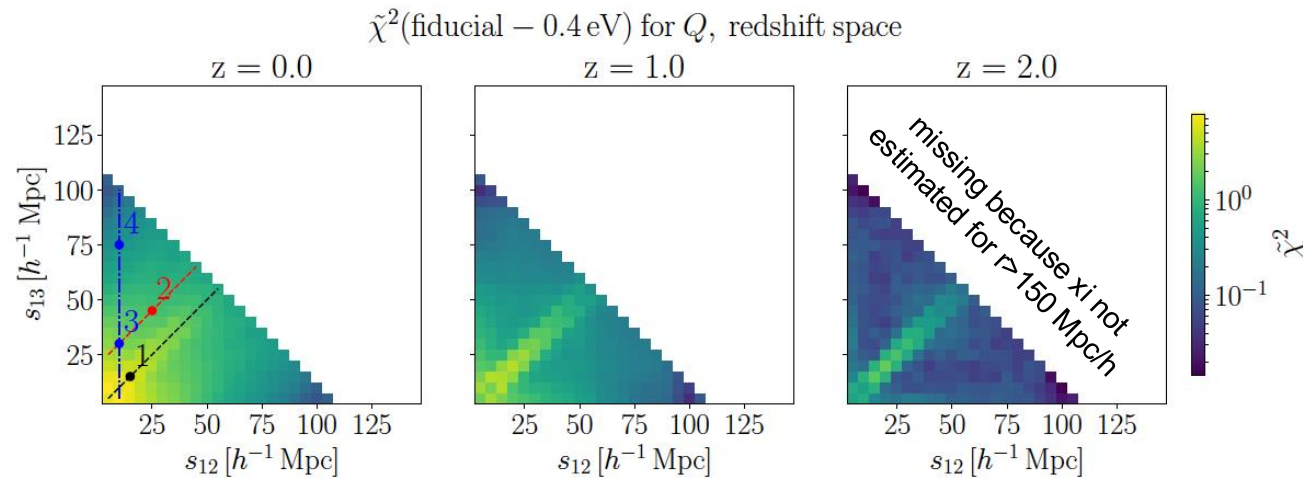
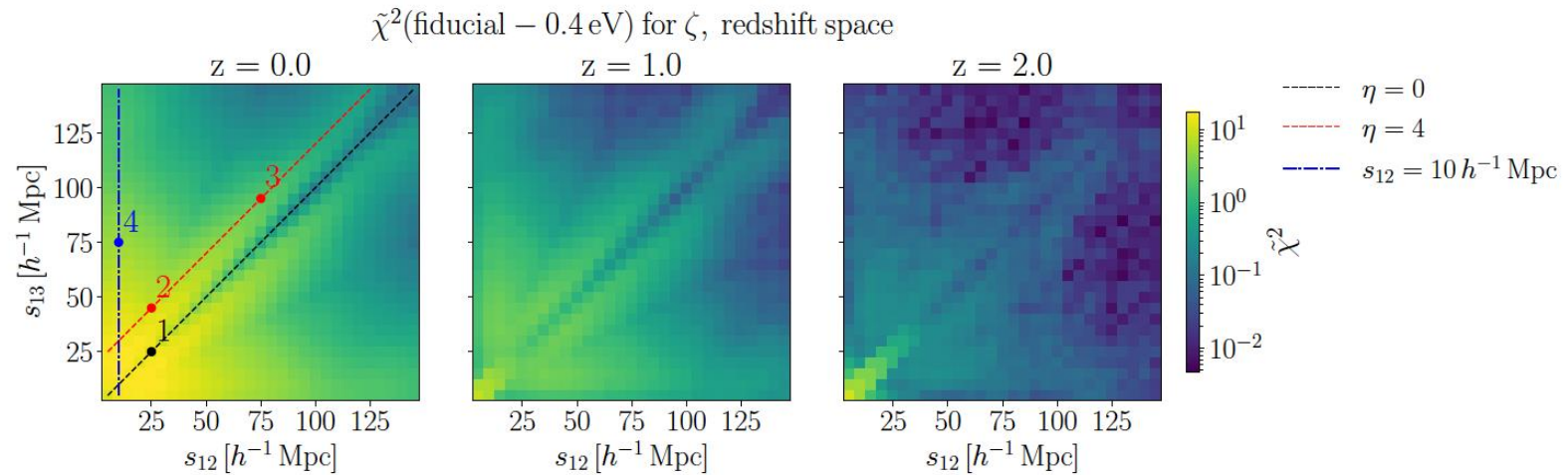
Italiadomani
PIANO NAZIONALE
DI RIPRESA E RESILIENZA



ALMA MATER STUDIORUM
UNIVERSITÀ DI BOLOGNA
DIPARTIMENTO
DI FISICA E ASTRONOMIA
"AUGUSTO RIGHI"

Effect of neutrinos on 3PCF

Work by A. Labate, M. Moresco, M. Guidi



Finanziato
dall'Unione europea
NextGenerationEU



Ministero
dell'Università
e della Ricerca



Italiadomani
PIANO NAZIONALE
DI RIPRESA E RESILIENZA



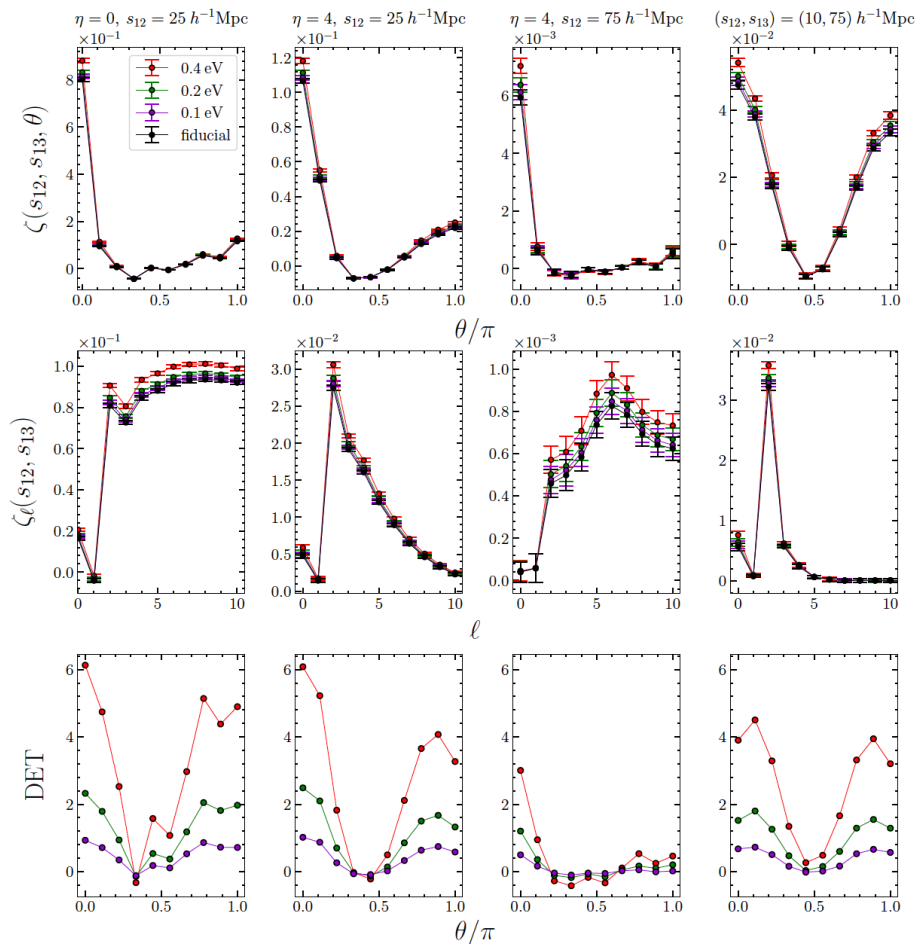
ALMA MATER STUDIORUM
UNIVERSITÀ DI BOLOGNA

DIPARTIMENTO
DI FISICA E ASTRONOMIA
"AUGUSTO RIGHI"

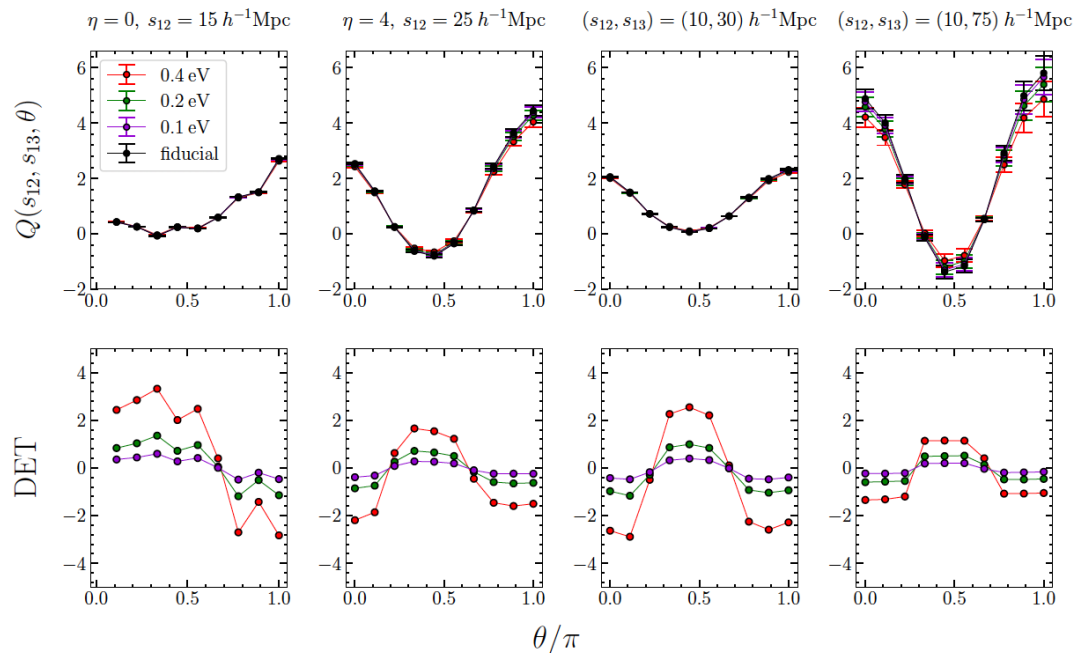
Effect of neutrinos on 3PCF

Work by A. Labate, M. Moresco, M. Guidi

3PCF



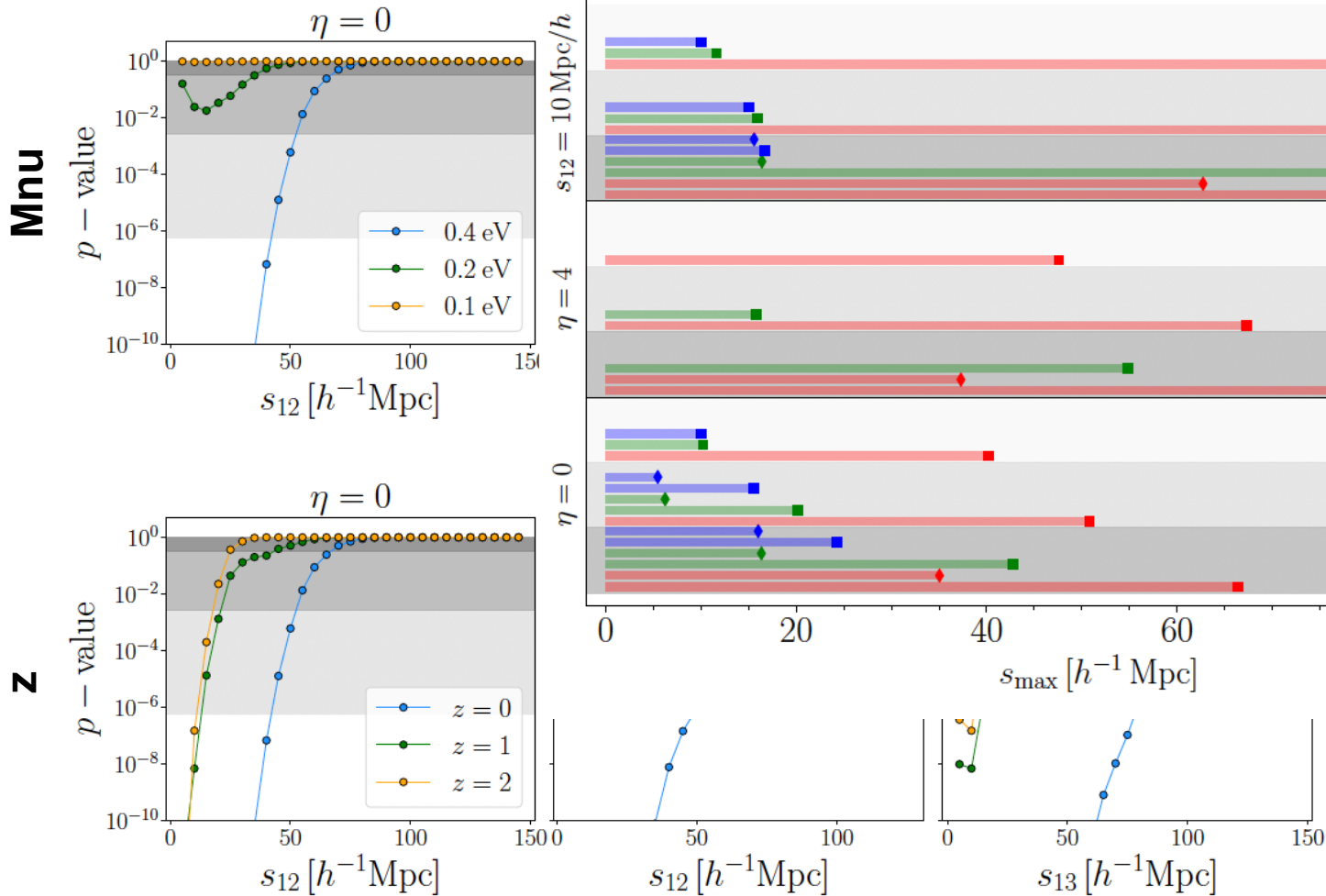
reduced 3PCF



- larger l s are needed to reconstruct quasi-isosceles configurations
- larger effect of neutrinos at smaller scales
- more significant impact for elongated configurations
- stronger effect on zeta

Quantifying the detectability

Work by A. Labate, M. Moresco, M. Guidi



- Mnu detectable only > 0.2 eV with this volume
- the lower Mnu, the more is needed to go to lower scales



Finanziato
dall'Unione europea
NextGenerationEU



Ministero
dell'Università
e della Ricerca



Italiadomani
PIANO NAZIONALE
DI RIPRESA E RESILIENZA

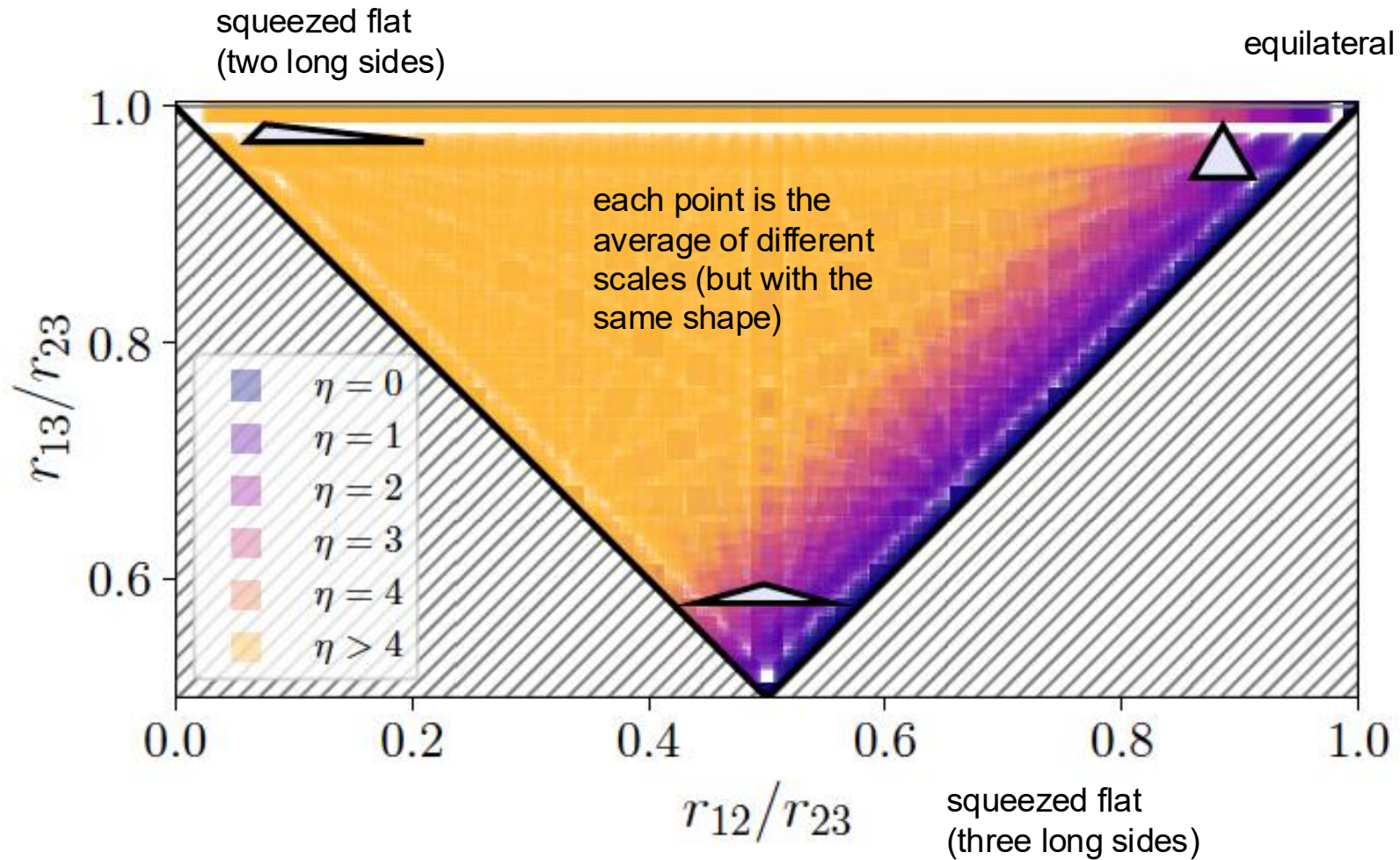


ALMA MATER STUDIORUM
UNIVERSITÀ DI BOLOGNA

DIPARTIMENTO
DI FISICA E ASTRONOMIA
"AUGUSTO RIGHI"

Which kind of configurations are better?

Work by A. Labate, M. Moresco, M. Guidi



Finanziato
dall'Unione europea
NextGenerationEU



Ministero
dell'Università
e della Ricerca



Italiadomani
PIANO NAZIONALE
DI RIPRESA E RESILIENZA

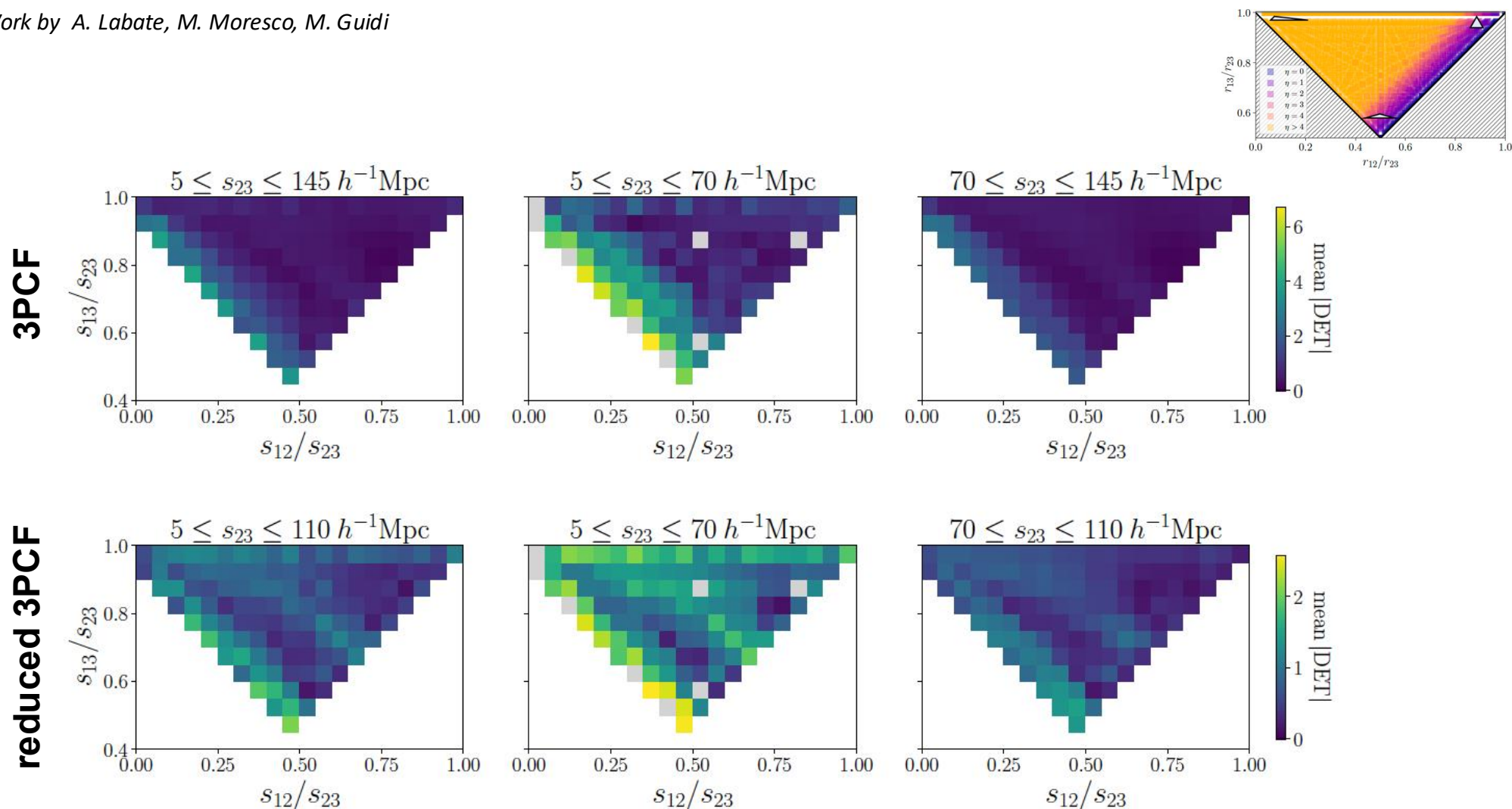


ALMA MATER STUDIORUM
UNIVERSITÀ DI BOLOGNA

DIPARTIMENTO
DI FISICA E ASTRONOMIA
"AUGUSTO RIGHI"

Which kind of configurations are better?

Work by A. Labate, M. Moresco, M. Guidi



Finanziato
dall'Unione europea
NextGenerationEU



Ministero
dell'Università
e della Ricerca



Italiadomani
PIANO NAZIONALE
DI RIPRESA E RESILIENZA



ALMA MATER STUDIORUM
UNIVERSITÀ DI BOLOGNA

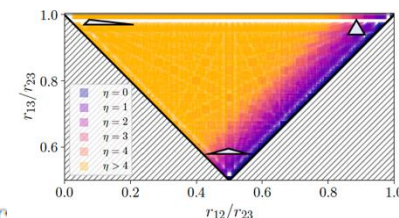
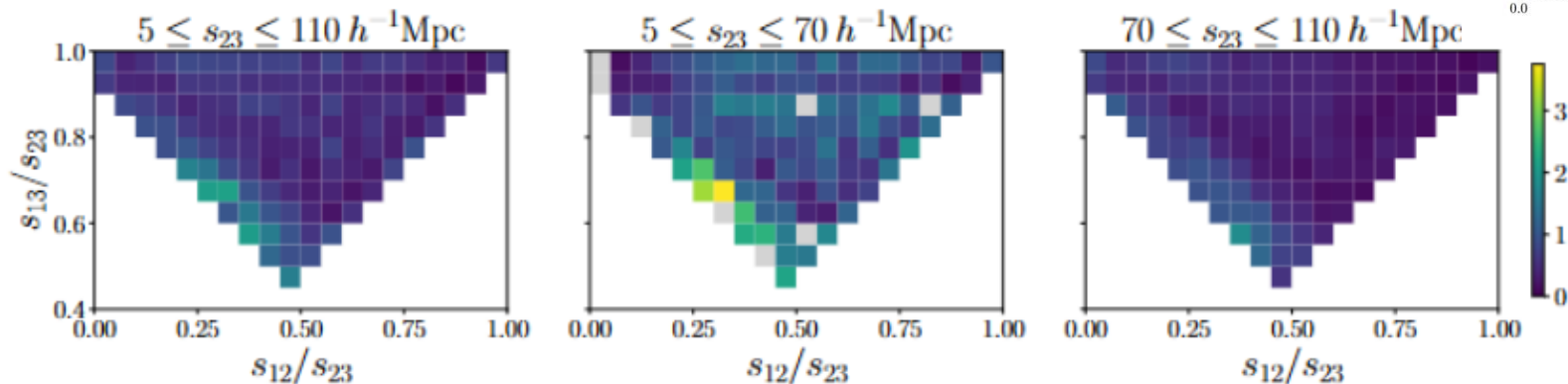
DIPARTIMENTO
DI FISICA E ASTRONOMIA
"AUGUSTO RIGHI"

Are there degeneracies?

Work by A. Labate, M. Moresco, M. Guidi

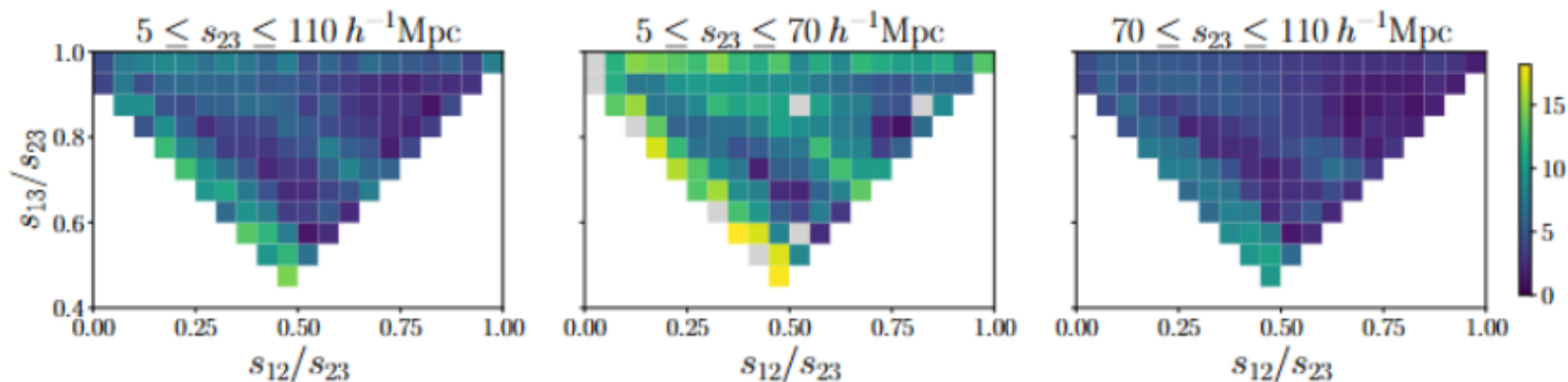
3PCF s8

$\langle |DET| \rangle$ for $\sigma_8 = 0.819$, $\eta \geq 0$, $z = 0.0$, redshift space



3PCF Mnu

$\langle |DET| \rangle$ for $M_\nu = 0.4 \text{ eV}$, $\eta \geq 0$, $z = 0.0$, redshift space



Finanziato
dall'Unione europea
NextGenerationEU



Ministero
dell'Università
e della Ricerca



Italiadomani
PIANO NAZIONALE
DI RIPRESA E RESILIENZA

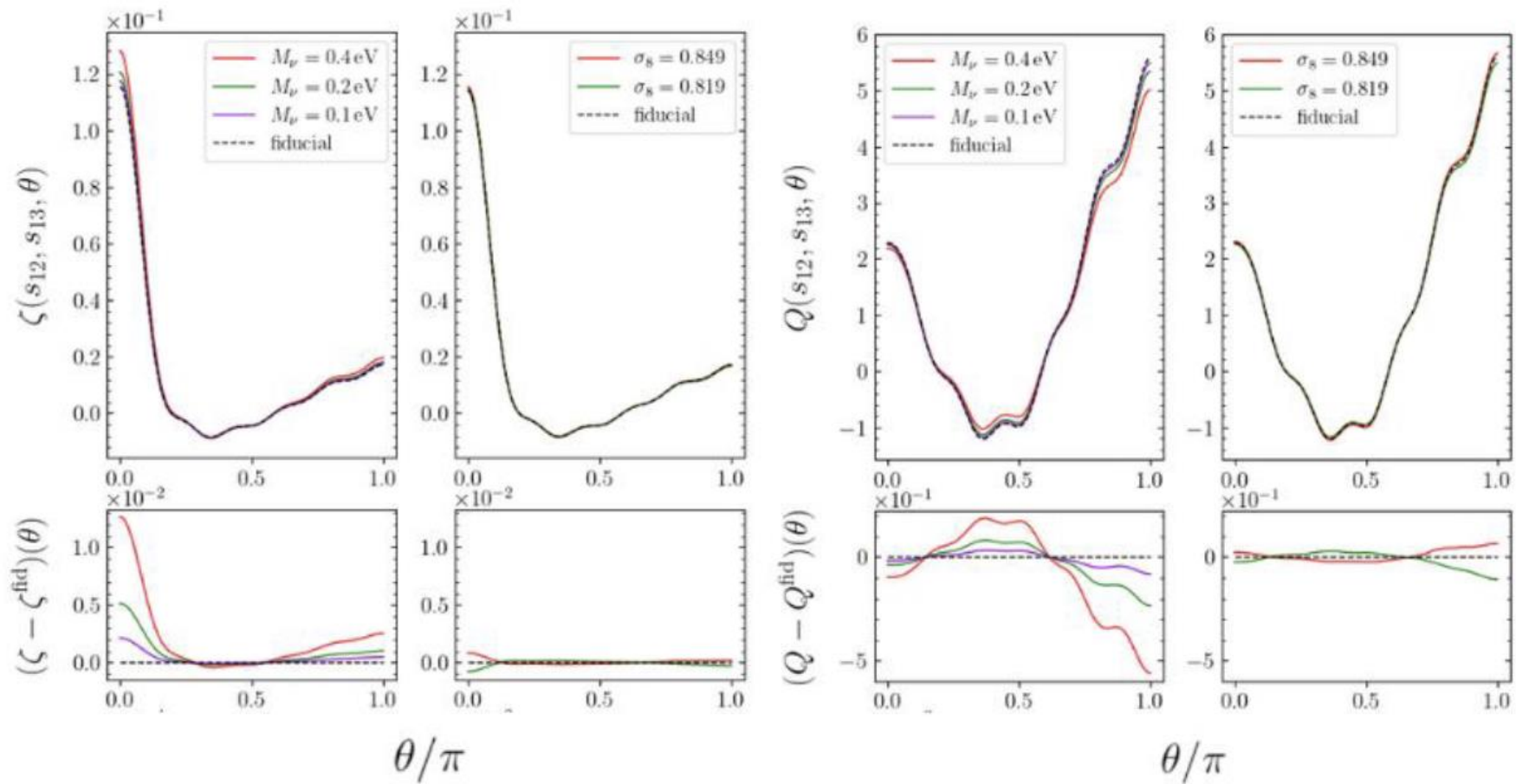


ALMA MATER STUDIORUM
UNIVERSITÀ DI BOLOGNA

DIPARTIMENTO
DI FISICA E ASTRONOMIA
"AUGUSTO RIGHI"

Are there degeneracies?

Work by A. Labate, M. Moresco, M. Guidi



Finanziato
dall'Unione europea
NextGenerationEU



Ministero
dell'Università
e della Ricerca



Italiadomani
PIANO NAZIONALE
DI RIPRESA E RESILIENZA



ALMA MATER STUDIORUM
UNIVERSITÀ DI BOLOGNA
DIPARTIMENTO
DI FISICA E ASTRONOMIA
"AUGUSTO RIGHI"

How to move forward?

- ☐ Computational improvements vs approximations: direct counting, spherical harmonics decomposition, what else?
- ☐ Improvements in codes? GPU?
- ☐ Modelling at the level of multiples vs resummed 3PCF vs reduced 3PCF?
- ☐ Push models to small scales?
- ☐ Models beyond tree-level: is it feasible? How much gain?
- ☐ Improving covariance?
- ☐ Configuration + Fourier space?
- ☐ Modelling 3PCF in the analysis of real data (Euclid, DESI, ...)
- ☐ 3PCF to provide constraints beyond standard (neutrinos, PNG, ...)

- ☐ Others?



Finanziato
dall'Unione europea
NextGenerationEU



Ministero
dell'Università
e della Ricerca



Italiadomani
PIANO NAZIONALE
DI RIPRESA E RESILIENZA



ALMA MATER STUDIORUM
UNIVERSITÀ DI BOLOGNA

DIPARTIMENTO
DI FISICA E ASTRONOMIA
"AUGUSTO RIGHI"